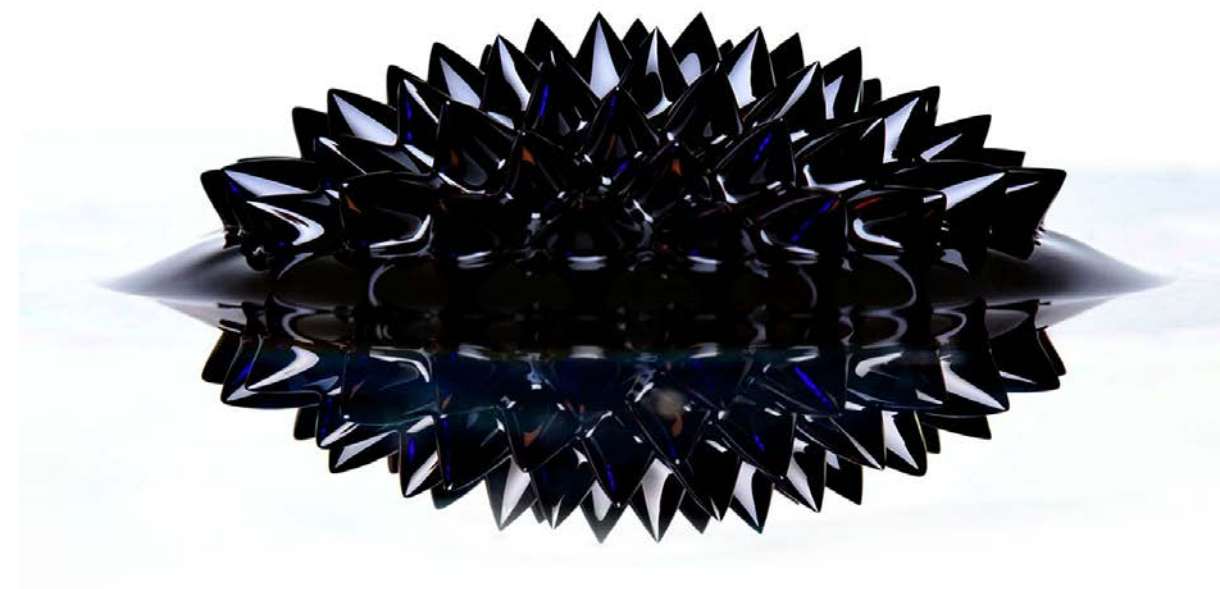


# Interactions magnétiques entre atomes froids: gouttelettes quantiques et états supersolides

Année 2024, cours 3

## Le spectre d'excitation et son minimum de roton



<http://pro.college-de-france.fr/jean.dalibard/index.html>

image : wikipedia, G.F. Maxwell



COLLÈGE  
DE FRANCE  
— 1530 —

# Prochains séminaires

---

*Aujourd'hui : Ultracold fermion mixtures with tunable interactions: polarons and the quest for novel superfluids*

Rudolf Grimm

University of Innsbruck and IQOQI, Austrian Academy of Sciences, Autriche

*22 mars : L'effet boomerang quantique*

Patrizia Vignolo

Institut de Physique de Nice, Université Côte d'Azur et CNRS

*29 mars : Energie solaire photovoltaïque : jouer avec la lumière et la matière*

Daniel Suchet

Département de Physique de l'Ecole polytechnique et Institut du Photovoltaïque d'Ile de France

5 avril : Colloque “*Rydberg atoms and quantum simulation*”, co-organisé avec Michel Brune

# Les interactions dans les gaz d'atomes ultra-froids

- Interaction de van der Waals ( $\propto 1/r^6$ ) + liaison chimique : courte portée

Modélisées (au moins dans une théorie de champ moyen) par un terme de contact

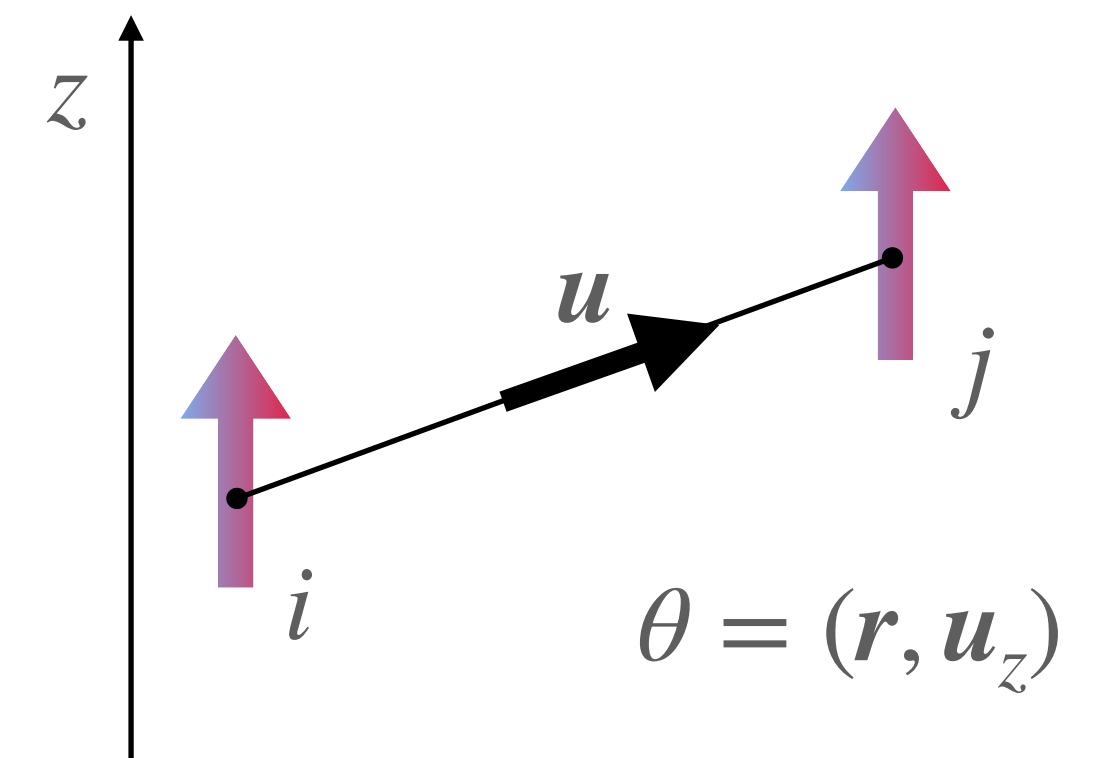
$$V_{\text{contact}}(\mathbf{r}) = g \delta(\mathbf{r}) \quad g = \frac{4\pi\hbar^2 a}{m}$$

$a$ : longueur de diffusion en onde  $s$

- Interaction dipolaire : relativement longue portée et anisotrope

$$V_{\text{dd}}(\mathbf{r}_i - \mathbf{r}_j) = \frac{\mu_0}{4\pi r_{ij}^3} \left[ \boldsymbol{\mu}_i \cdot \boldsymbol{\mu}_j - 3(\boldsymbol{\mu}_i \cdot \mathbf{u})(\boldsymbol{\mu}_j \cdot \mathbf{u}) \right]$$

$$V_{\text{dd}}(\mathbf{r}) = \frac{3g_{\text{dd}}}{4\pi} \frac{1}{r^3} (1 - 3 \cos^2 \theta) \quad g_{\text{dd}} = \frac{1}{3} \mu_0 \mu^2 = \frac{4\pi\hbar^2 a_{\text{dd}}}{m}$$

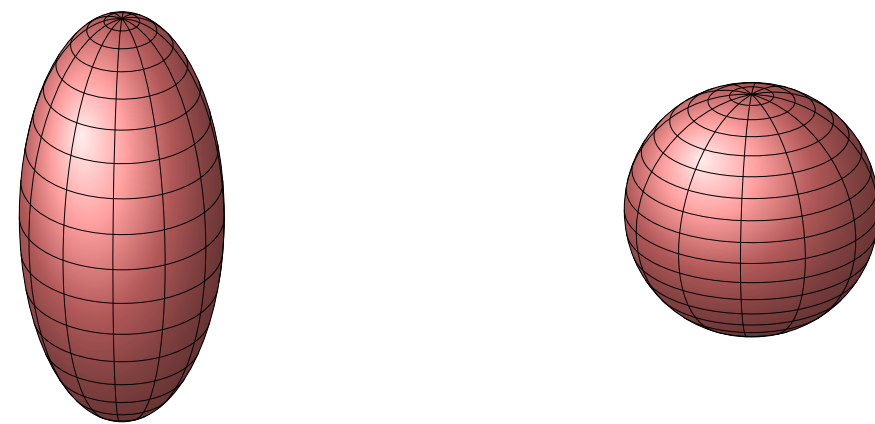


Pour des atomes comme Cr, Dy, Er, ... , le couplage  $g_{\text{dd}}$  peut dépasser  $g$

# La stabilité (globale) d'un condensat piégé

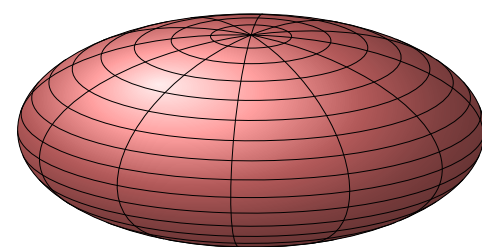
Potentiel de piégeage à symétrie de révolution :  $U(\mathbf{r}) = \frac{1}{2}m\omega_{\perp}^2 (x^2 + y^2) + \frac{1}{2}\omega_z^2 z^2$

Piège allongé ou quasi isotrope :  $\omega_{\perp} \gtrsim \omega_z$



Le gaz devient instable et s'effondre sur lui-même dès que  $g_{\text{dd}} \gtrsim g$

Piège très aplati :  $\omega_{\perp} \ll \omega_z$

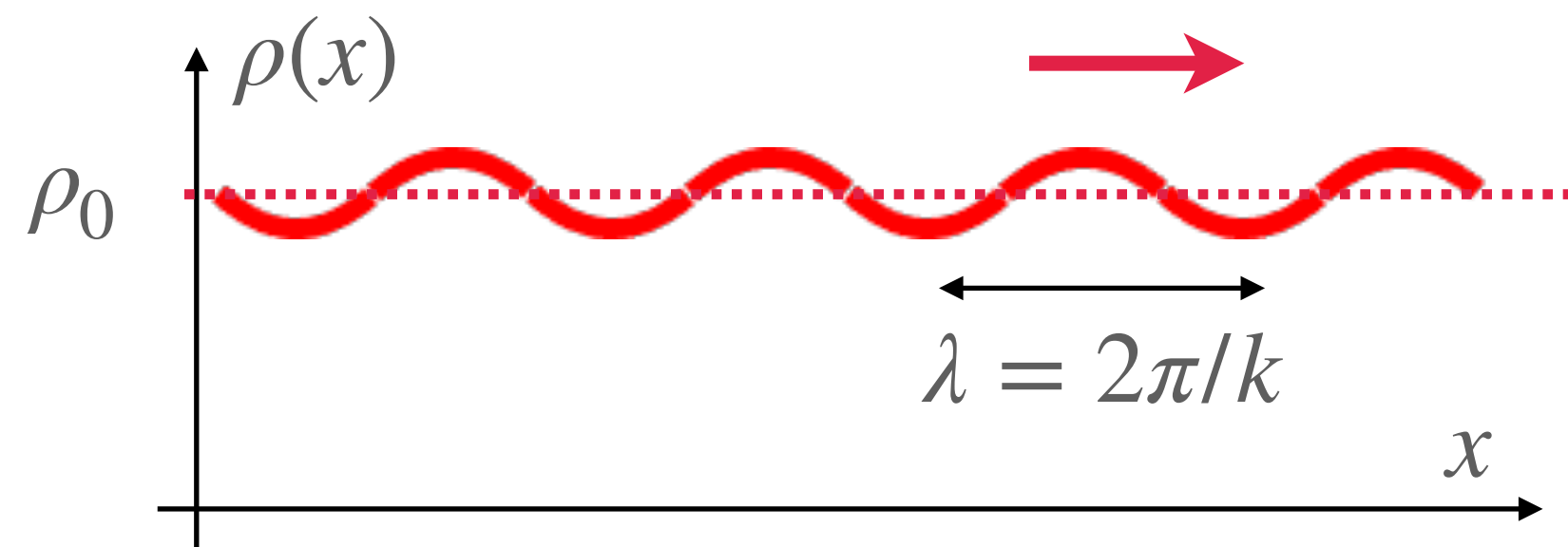


Le gaz est (globalement) stable ou métastable même si  $g_{\text{dd}} \gg g$

# But de ce cours

Déterminer le spectre d'excitation d'un condensat dipolaire

Trouver la nature des petites perturbations qui peuvent se propager dans un condensat homogène



*Exemple : ondes sonores de fréquence  $\omega = ck$*

*Plus généralement, quelle est la relation de dispersion  $\omega(k)$ ? Génère-t-elle des instabilités ?*

***Importance de la dimensionnalité du système***

# Structure en maxon-roton

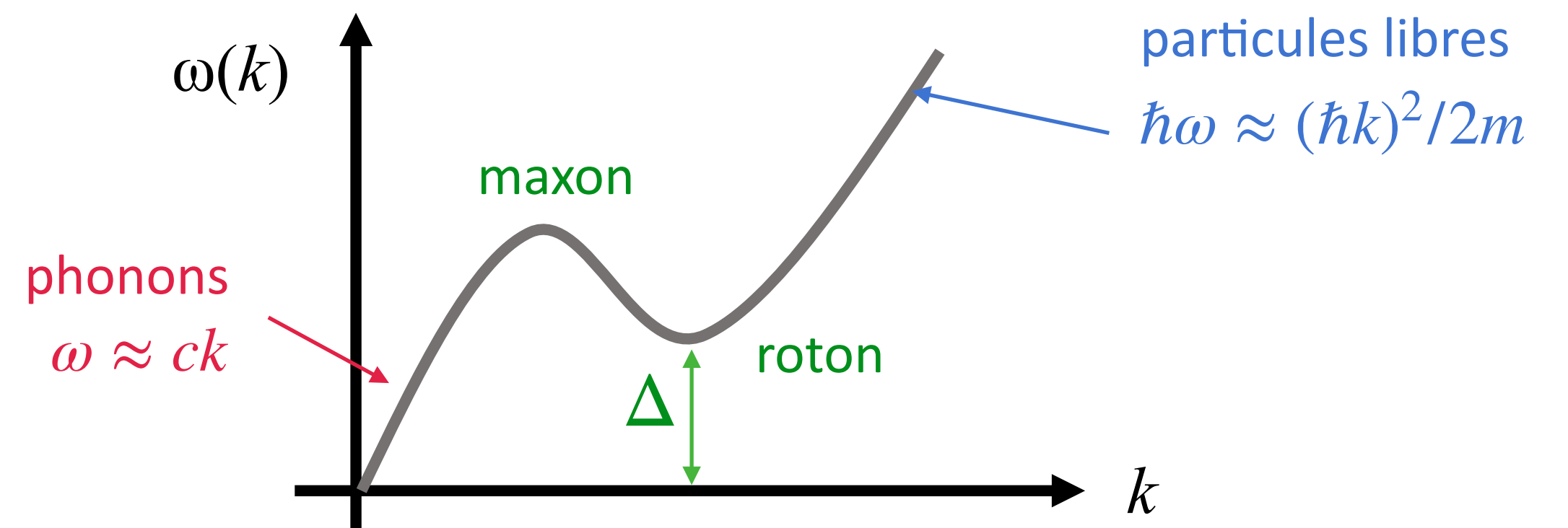
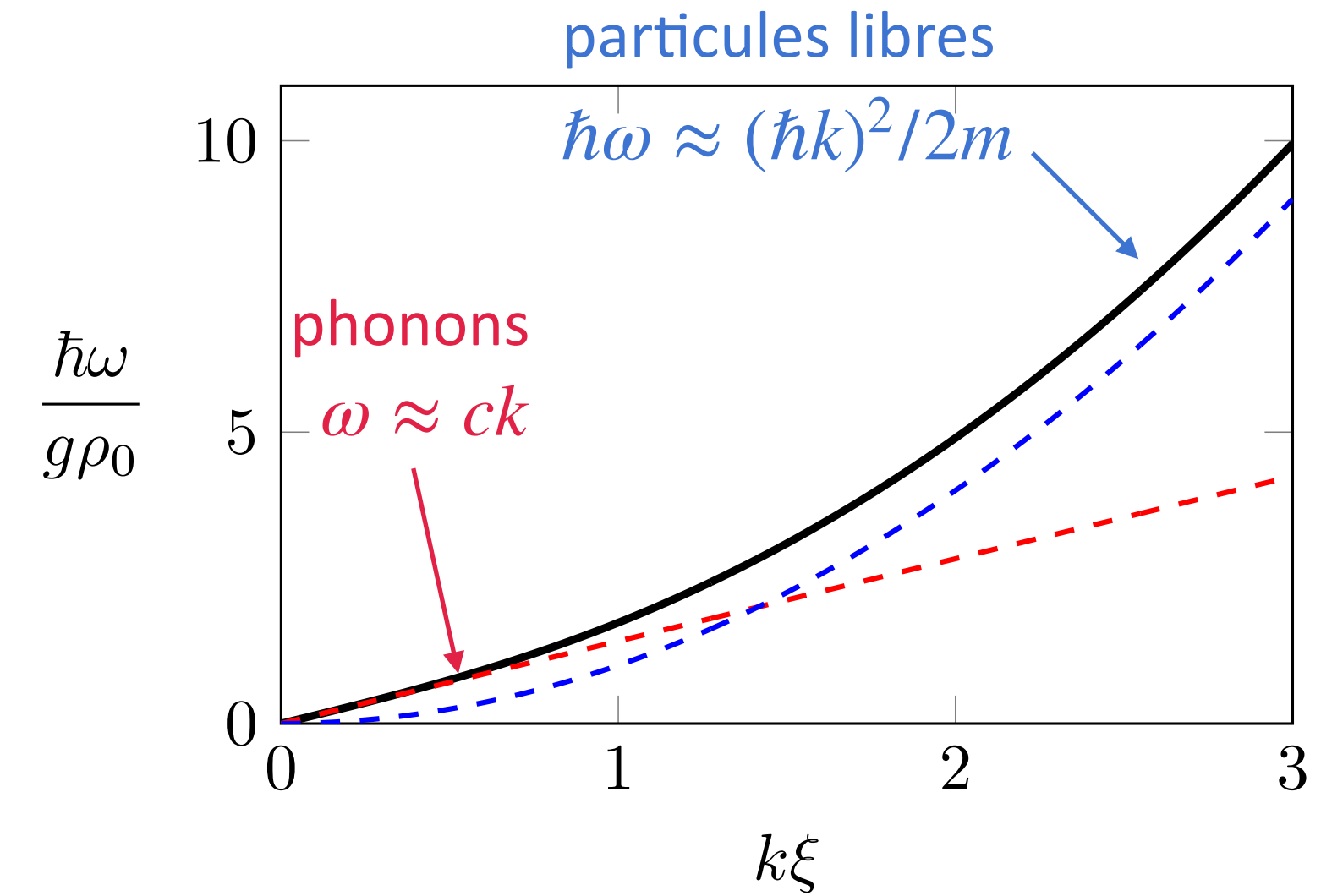
Relation de dispersion pour les condensats de Bose-Einstein "usuels" (interaction de contact  $g \delta(\mathbf{r})$ )

densité  $\rho_0$        $\xi = \frac{\hbar}{\sqrt{2mg\rho_0}}$        $c = \sqrt{g\rho_0/m}$

$\xi$  : longueur de relaxation/cicatrisation

Structure qui va apparaître pour les condensats dipolaires en dimension réduite :

- Lien avec la physique de l'hélium liquide
- Source d'instabilité quand  $\Delta \rightarrow 0$



# Plan du cours

---

## 1. Le spectre d'excitation d'un fluide quantique

Méthode de Bogoliubov

## 2. Gaz dipolaire uniforme à trois dimensions

Premières mesures : une vitesse du son anisotrope

## 3. Gaz dipolaire quasi-plan et spectre de roton

Potentiel effectif à 2D et seuil d'instabilité

## 4. Mise en évidence expérimentale du spectre de roton

1.

## Le spectre d'excitation d'un fluide quantique

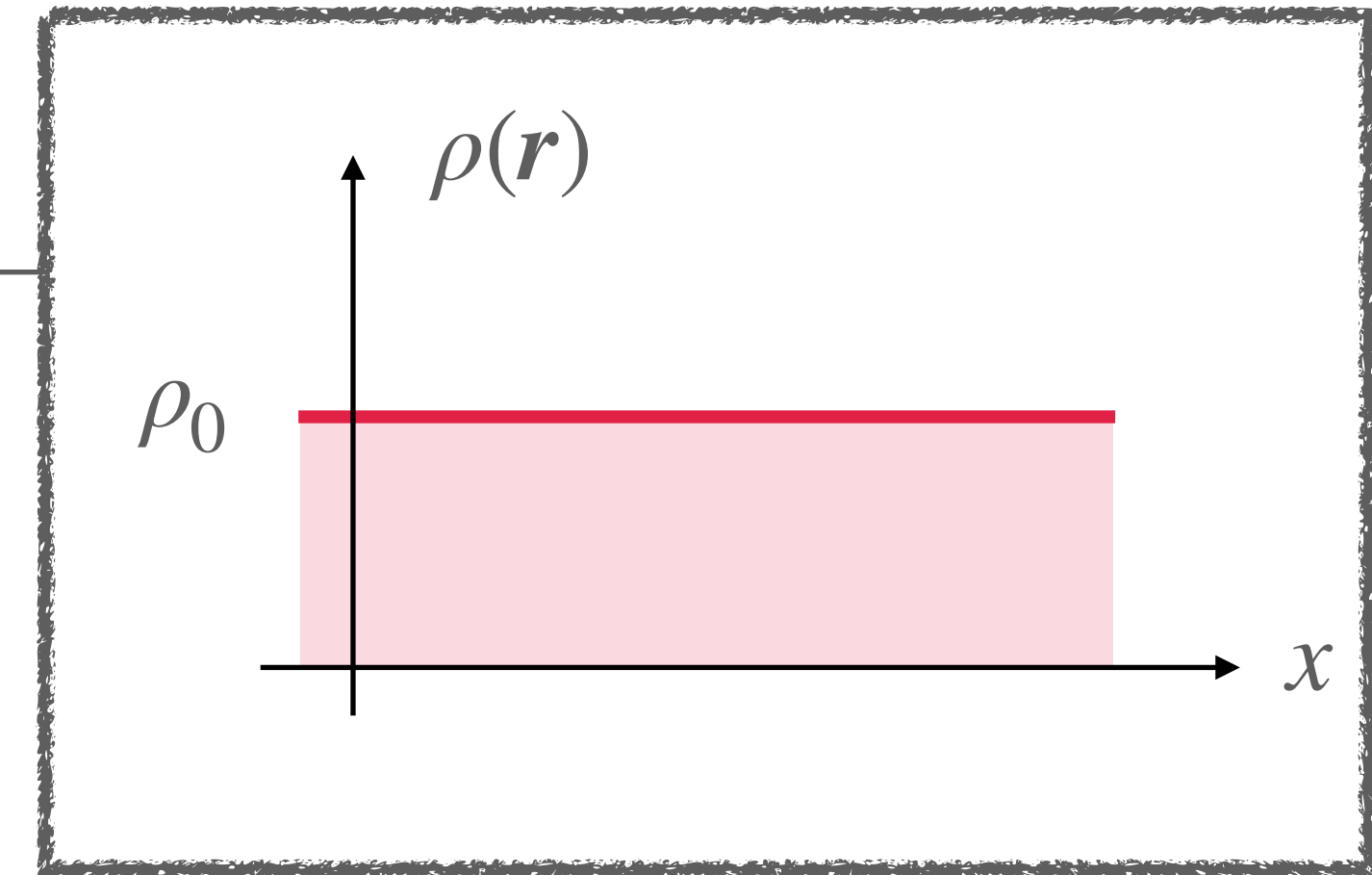
*Quelle est la dynamique des petites fluctuations autour de la solution d'équilibre ?*



# Gaz uniforme et potentiel chimique

Equation de Gross-Pitaevskii dépendant du temps :

$$i\hbar\partial_t\psi(\mathbf{r}, t) = -\frac{\hbar^2}{2m}\Delta\psi(\mathbf{r}, t) + \left( \int V(\mathbf{r} - \mathbf{r}')\rho(\mathbf{r}', t) d^3r' \right) \psi(\mathbf{r}, t)$$



On part de la solution uniforme :  $\psi(\mathbf{r}, t) = \psi_0 e^{-i\mu_c t/\hbar}$  et  $\rho(\mathbf{r}, t) = \rho_0 \Rightarrow \mu_c = \tilde{V}(0)\rho_0$

avec la transformée de Fourier  $\tilde{V}(\mathbf{k})$  du potentiel  $V(\mathbf{r})$  :  $\tilde{V}(\mathbf{k}) = \int e^{-i\mathbf{k}\cdot\mathbf{r}} V(\mathbf{r}) d^3r$

On supposera dans ce qui suit que  $\tilde{V}(0) = \int V(\mathbf{r}) d^3r \geq 0$

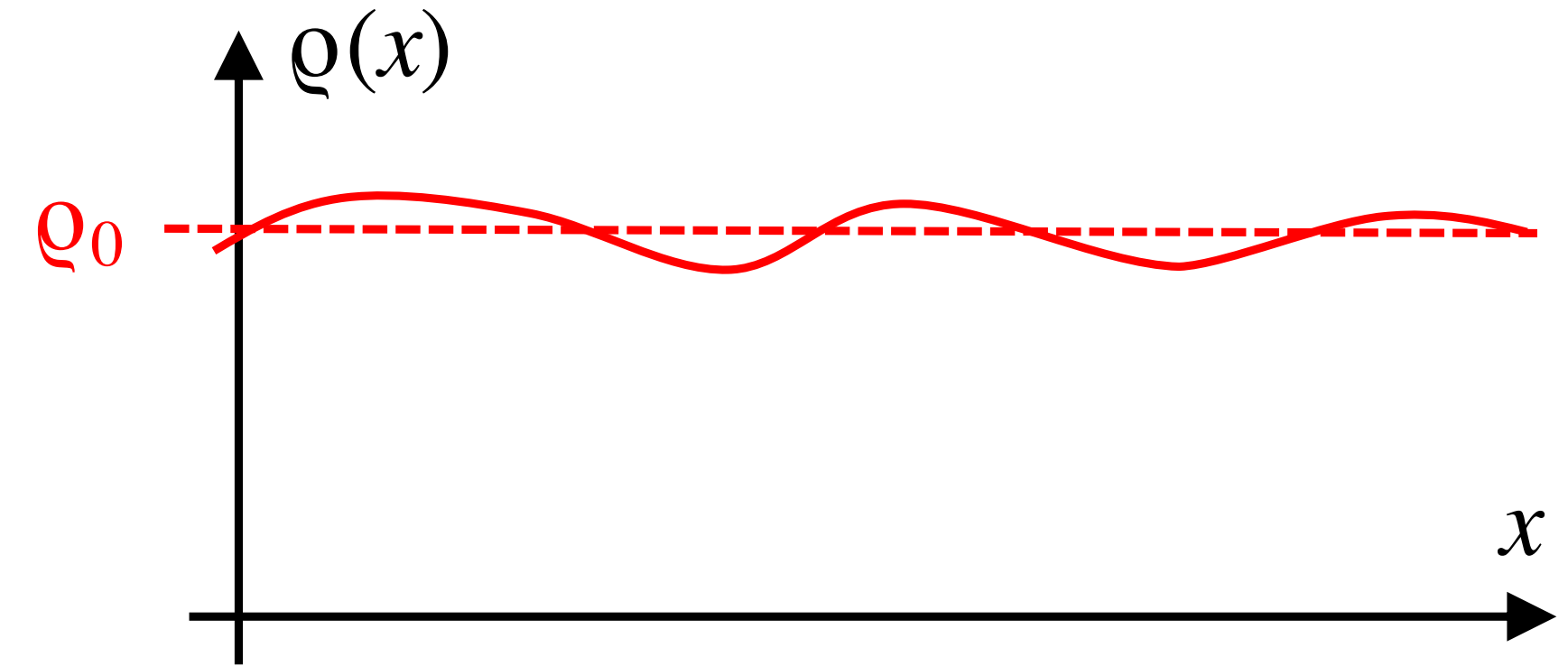
Sinon, le gaz aura tendance à s'effondrer sur lui-même :  $\mu_c \rightarrow -\infty$  quand  $\rho_0 \rightarrow +\infty$

# Modélisation des excitations

Fonction d'onde :  $\sqrt{N} \psi(\mathbf{r}, t) = \sqrt{\rho(\mathbf{r}, t)} e^{iS(\mathbf{r}, t)}$

Densité :  $\rho(\mathbf{r}, t) = \rho_0 [1 + \eta(\mathbf{r}, t)]$

Phase :  $S(\mathbf{r}, t) = -\mu_c t / \hbar + \zeta(\mathbf{r}, t)$   $\longrightarrow$  champ de vitesse :  $\mathbf{v}(\mathbf{r}, t) = \frac{\hbar}{m} \nabla [\zeta(\mathbf{r}, t)]$



Les quantités  $\eta(\mathbf{r}, t)$  et  $\zeta(\mathbf{r}, t)$  sont supposées  $\ll 1$   
En particulier, pas de vortex



Equation de Gross-Pitaevskii dépendant du temps pour un potentiel d'interaction non local

$$i\hbar\partial_t\psi(\mathbf{r}, t) = -\frac{\hbar^2}{2m}\Delta\psi(\mathbf{r}, t) + \left( \int V(\mathbf{r} - \mathbf{r}')\rho(\mathbf{r}', t) d^3r' \right) \psi(\mathbf{r}, t)$$

Paramétrisation en termes de la densité et de la phase

$$\sqrt{N} \psi(\mathbf{r}, t) = \sqrt{\rho(\mathbf{r}, t)} e^{iS(\mathbf{r}, t)} \quad \text{Champ de vitesses :} \quad \mathbf{v}(\mathbf{r}, t) = \frac{\hbar}{m} \nabla [S(\mathbf{r}, t)]$$

Réécriture de l'équation de Gross-Pitaevskii :

$$\begin{aligned} \partial_t\rho &= -\nabla \cdot (\rho\mathbf{v}) \\ \hbar\partial_t S &= -\frac{1}{2}mv^2 - \int V(\mathbf{r} - \mathbf{r}')\rho(\mathbf{r}', t) d^3r' + \frac{\hbar^2}{2m} \frac{\Delta(\sqrt{\rho})}{\sqrt{\rho}} \end{aligned}$$

**Linéarisation de ces deux équations du mouvement avec  $\rho = \rho_0 [1 + \eta]$  et  $S = -\mu_c t/\hbar + \zeta$**

$$\sqrt{N} \psi(\mathbf{r}, t) = \sqrt{\rho(\mathbf{r}, t)} e^{iS(\mathbf{r}, t)}$$

Linéarisation au voisinage de la solution d'équilibre

$$\rho = \rho_0 [1 + \eta] \qquad S = -\mu t/\hbar + \zeta$$

Recherche des solutions sous forme d'ondes planes :

$$\eta(\mathbf{r}, t) = \eta_0 e^{i(\mathbf{k}\cdot\mathbf{r}-\omega t)} \qquad \zeta(\mathbf{r}, t) = \zeta_0 e^{i(\mathbf{k}\cdot\mathbf{r}-\omega t)}$$

Quelle est la relation de dispersion  $\omega(\mathbf{k})$  ?

## Le cas des interactions purement de contact

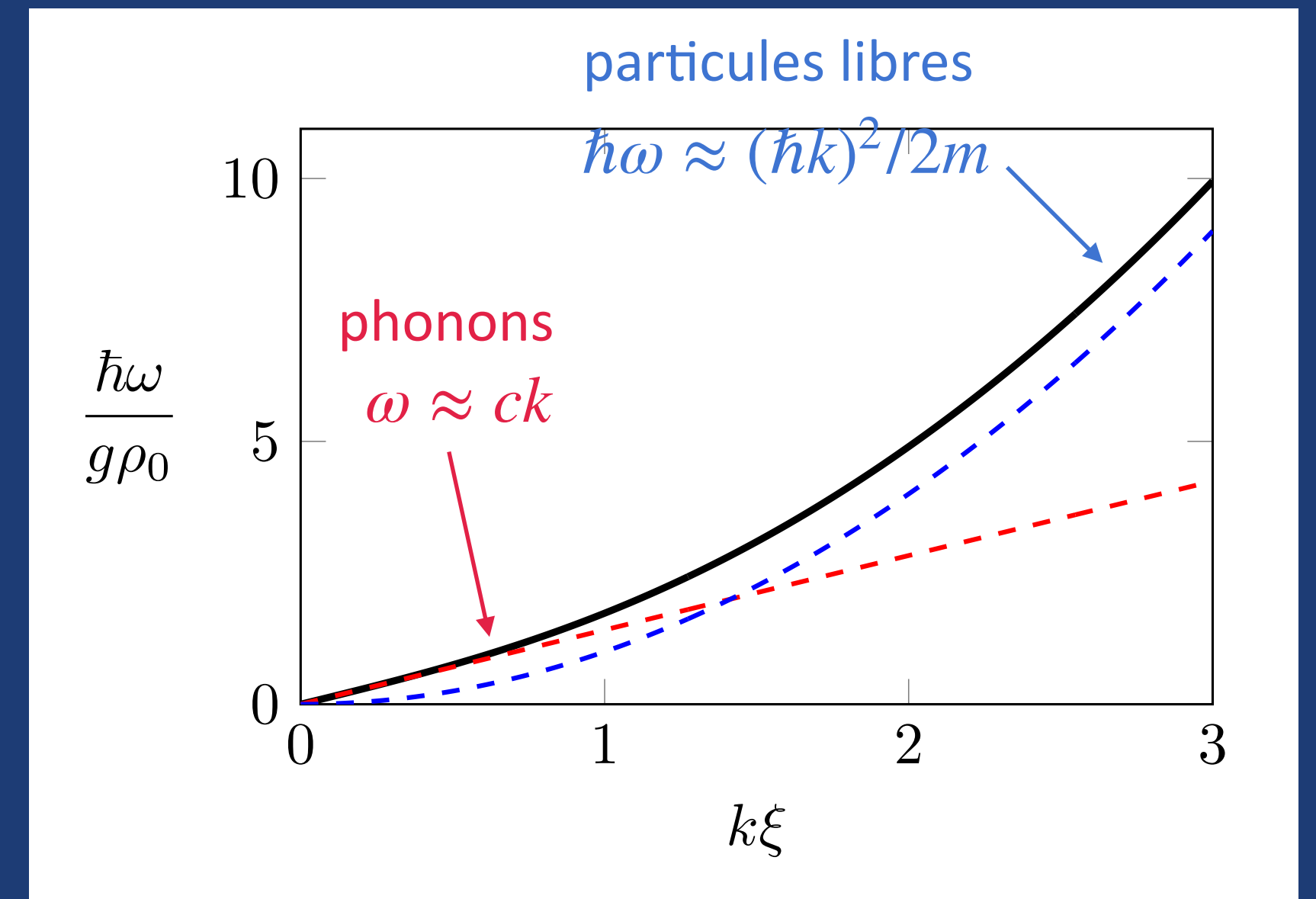
$$V_{\text{contact}}(\mathbf{r}) = g \delta(\mathbf{r})$$

Les deux cas limites :

- Grands vecteurs d'onde :  $\epsilon_k = \frac{\hbar^2 k^2}{2m} \gg g\rho_0$

- Petits vecteurs d'onde :  $\epsilon_k = \frac{\hbar^2 k^2}{2m} \ll g\rho_0$

$$\xi = \frac{\hbar}{\sqrt{2mg\rho_0}}$$



2.

Gaz dipolaire uniforme à 3D

# La transformée de Fourier du potentiel dipolaire

$$\tilde{V}(\mathbf{k}) = \int e^{-i\mathbf{k}\cdot\mathbf{r}} V(\mathbf{r}) d^3r$$

	$V(\mathbf{r})$	↔	$\tilde{V}(\mathbf{k})$	
	$g \delta(\mathbf{r})$	↔	$g$	
$\theta = (\mathbf{r}, \mathbf{u}_z)$	$\frac{3g_{\text{dd}}}{4\pi} \frac{1 - 3 \cos^2 \theta}{r^3}$	↔	$g_{\text{dd}} (3 \cos^2 \alpha - 1)$	$\alpha = (\mathbf{k}, \mathbf{u}_z)$
			Indépendant du module de $k$ (comme pour l'interaction de contact), mais dépendant de son orientation (anisotrope)	

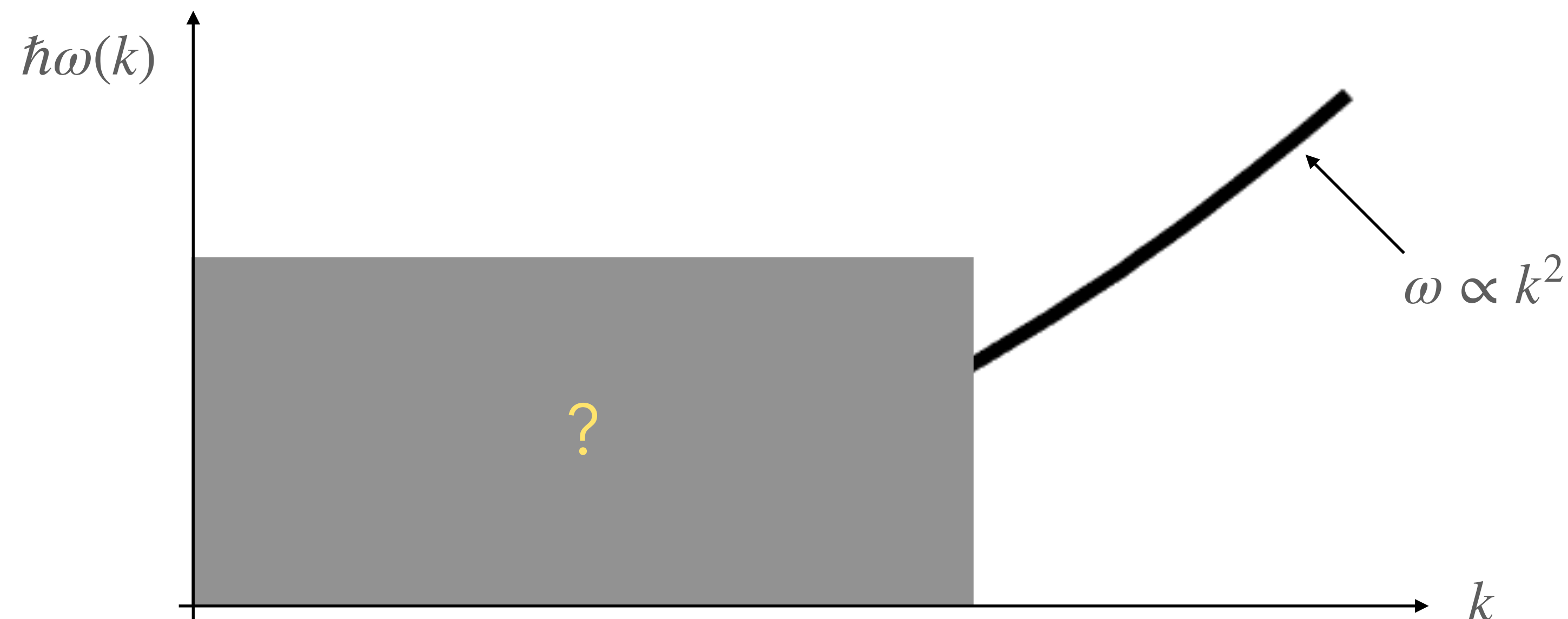
On en déduit la forme générale de la relation de dispersion

$$\hbar\omega(\mathbf{k}) = \left[ 2\rho_0 \underbrace{\epsilon_k \left( g + g_{\text{dd}} (3 \cos^2 \alpha - 1) \right)}_{\tilde{V}(\mathbf{k})} + \epsilon_k^2 \right]^{1/2} \quad \epsilon_k = \hbar^2 k^2 / 2m$$

# La limite haute énergie de la relation de dispersion

$$\hbar\omega(\mathbf{k}) = \left[ \underbrace{2\rho_0\epsilon_k \left( g + g_{\text{dd}} (3 \cos^2 \alpha - 1) \right)}_{\tilde{V}(\mathbf{k})} + \epsilon_k^2 \right]^{1/2} \quad \epsilon_k = \hbar^2 k^2 / 2m$$

Si  $\epsilon_k \gg g\rho_0, g_{\text{dd}}\rho_0$ , on néglige la contribution de  $\tilde{V}(\mathbf{k})$  :  $\hbar\omega(k) \approx \epsilon_k$ , limite de particules libres





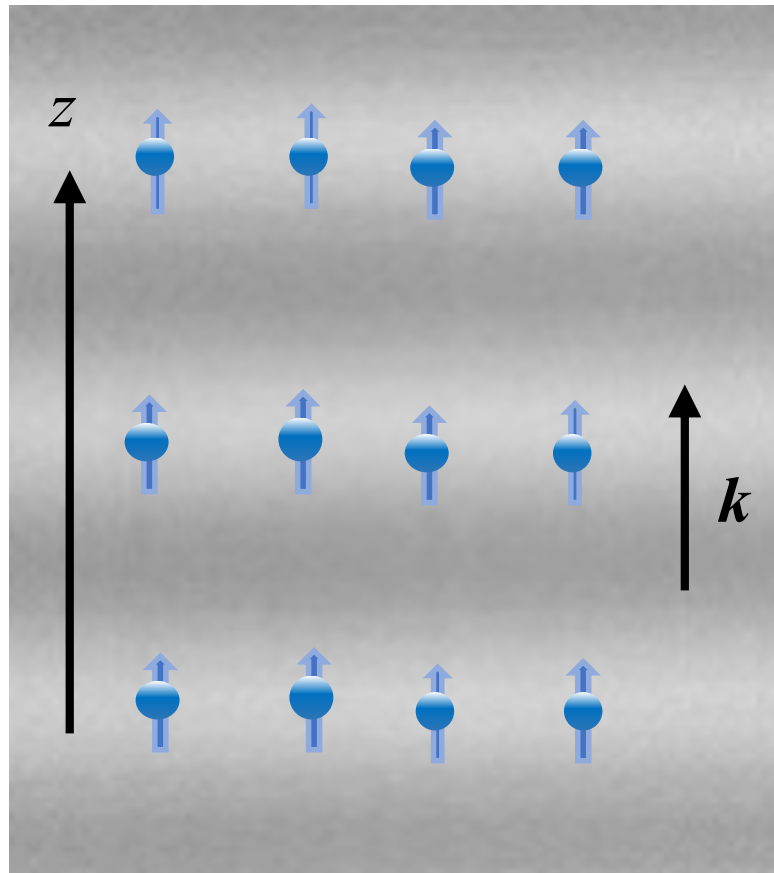
# Vitesse[s] du son dans un condensat dipolaire

$$\epsilon_k = \hbar^2 k^2 / 2m$$

$$\epsilon_k \ll g\rho_0, g_{dd}\rho_0$$

Limite des petits vecteurs d'onde :  $\hbar\omega(\mathbf{k}) = \left[ 2\rho_0\epsilon_k \left( g + g_{dd} (3 \cos^2 \alpha - 1) \right) \right]^{1/2} \longrightarrow \omega = c_\alpha k$

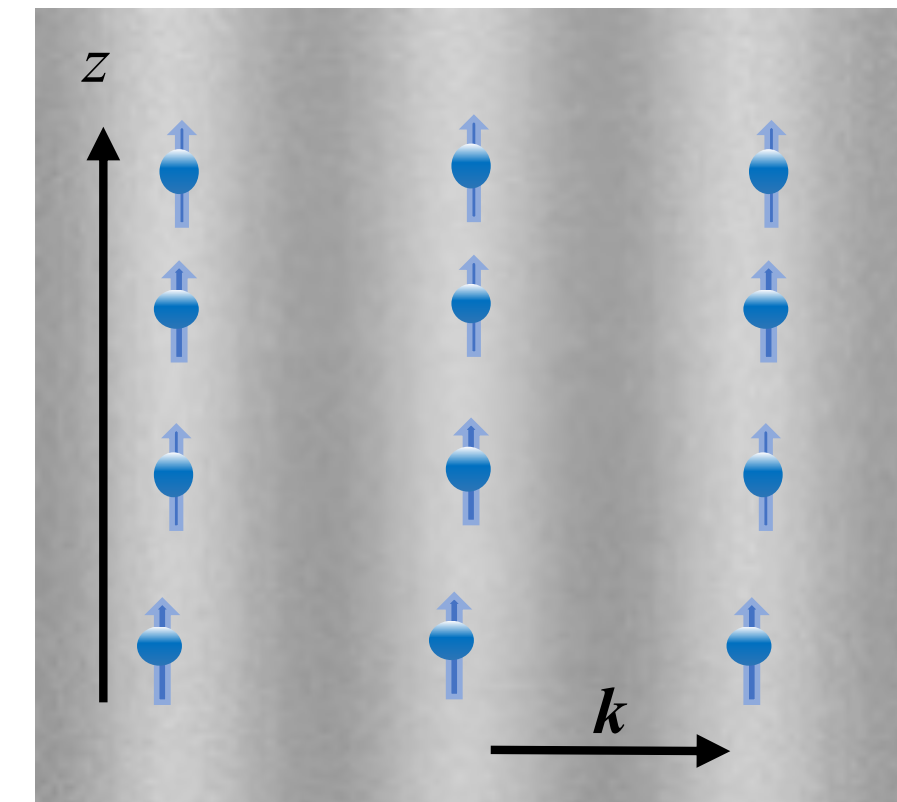
$$\alpha = 0, \quad \mathbf{k} \parallel \mathbf{u}_z$$



$$c_{\parallel} = \left[ (g + 2g_{dd})\rho_0 / m \right]^{1/2}$$

dipôles côte à côte : énergie augmentée

$$\alpha = \pi/2, \quad \mathbf{k} \perp \mathbf{u}_z$$



$$c_{\parallel} = \left[ (g - g_{dd})\rho_0 / m \right]^{1/2}$$

dipôles en file : énergie diminuée

**Problème pour  $g_{dd} > g$  :**

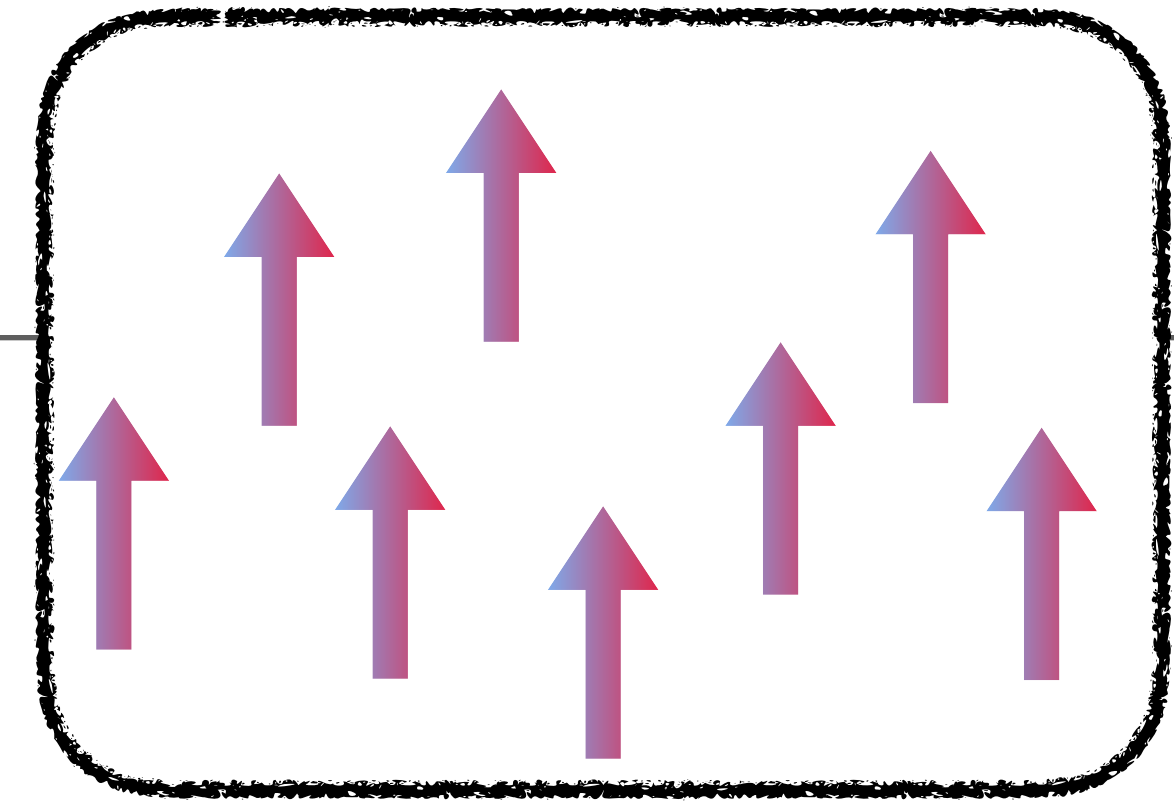
**$\omega$  imaginaire  $\Rightarrow e^{-i\omega t} = e^{|\omega|t}$**

**instabilité modulationnelle!**

# Allure générale de la relation de dispersion à 3D

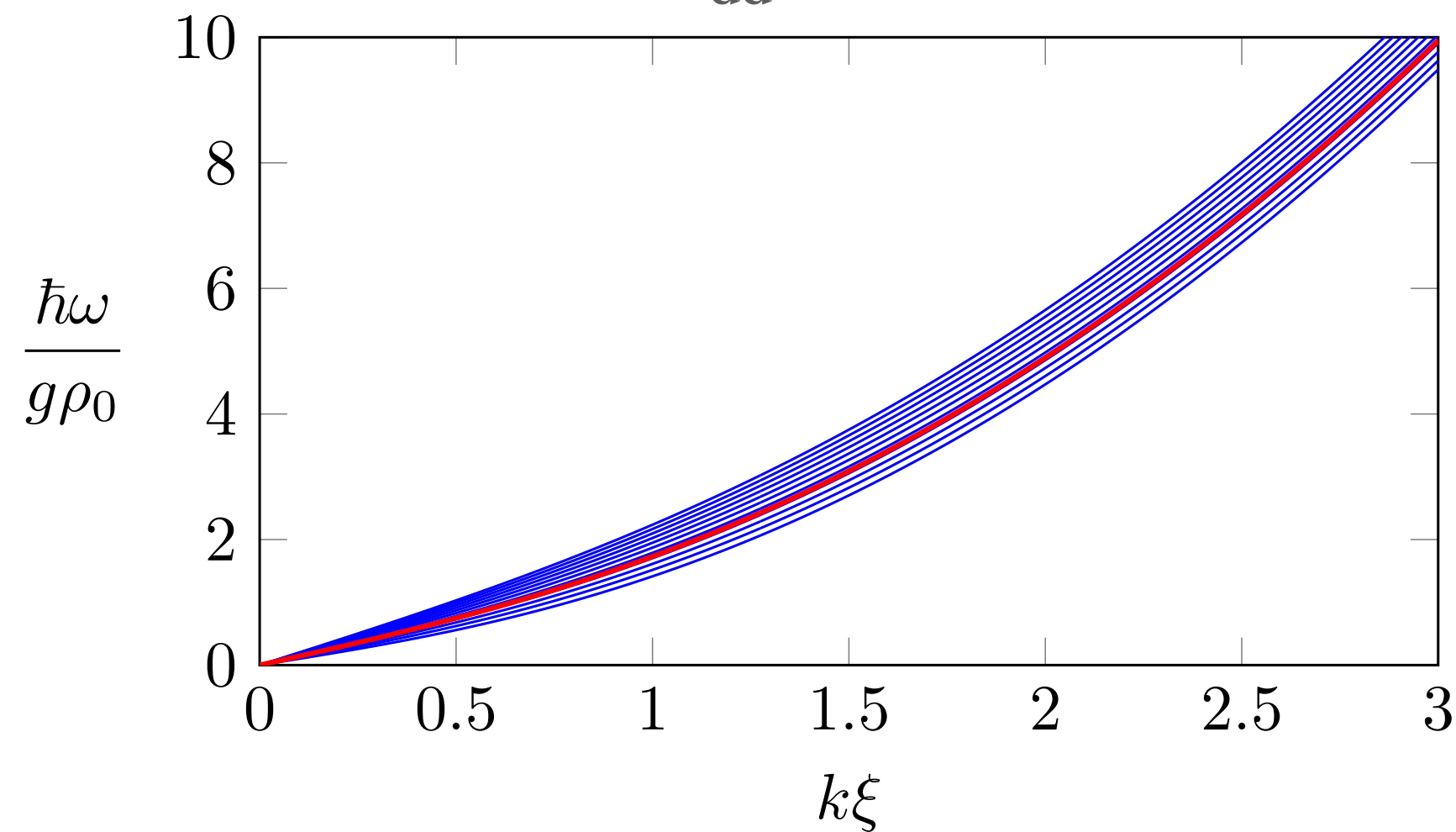
$$\hbar\omega(\mathbf{k}) = \left[ 2\rho_0\epsilon_k \left( g + g_{\text{dd}} (3 \cos^2 \alpha - 1) \right) + \epsilon_k^2 \right]^{1/2}$$

On varie l'angle  $\alpha = (\mathbf{k}, \mathbf{u}_z)$  entre 0 et  $\pi/2$



Interactions dipolaires faibles

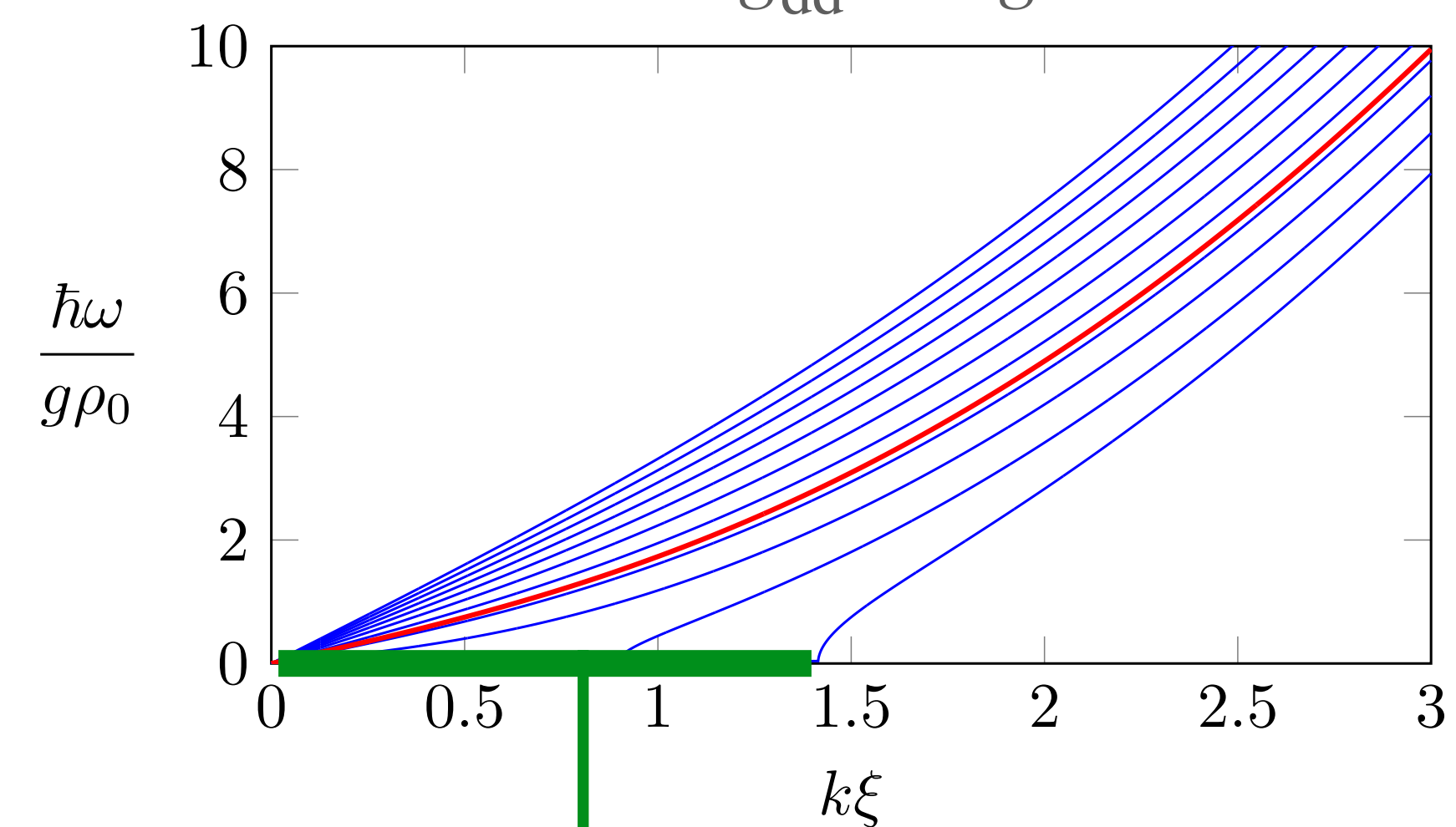
$$g_{\text{dd}} = g/2$$



rouge:  
 $\cos^2 \alpha = 1/3$

Interactions dipolaires fortes

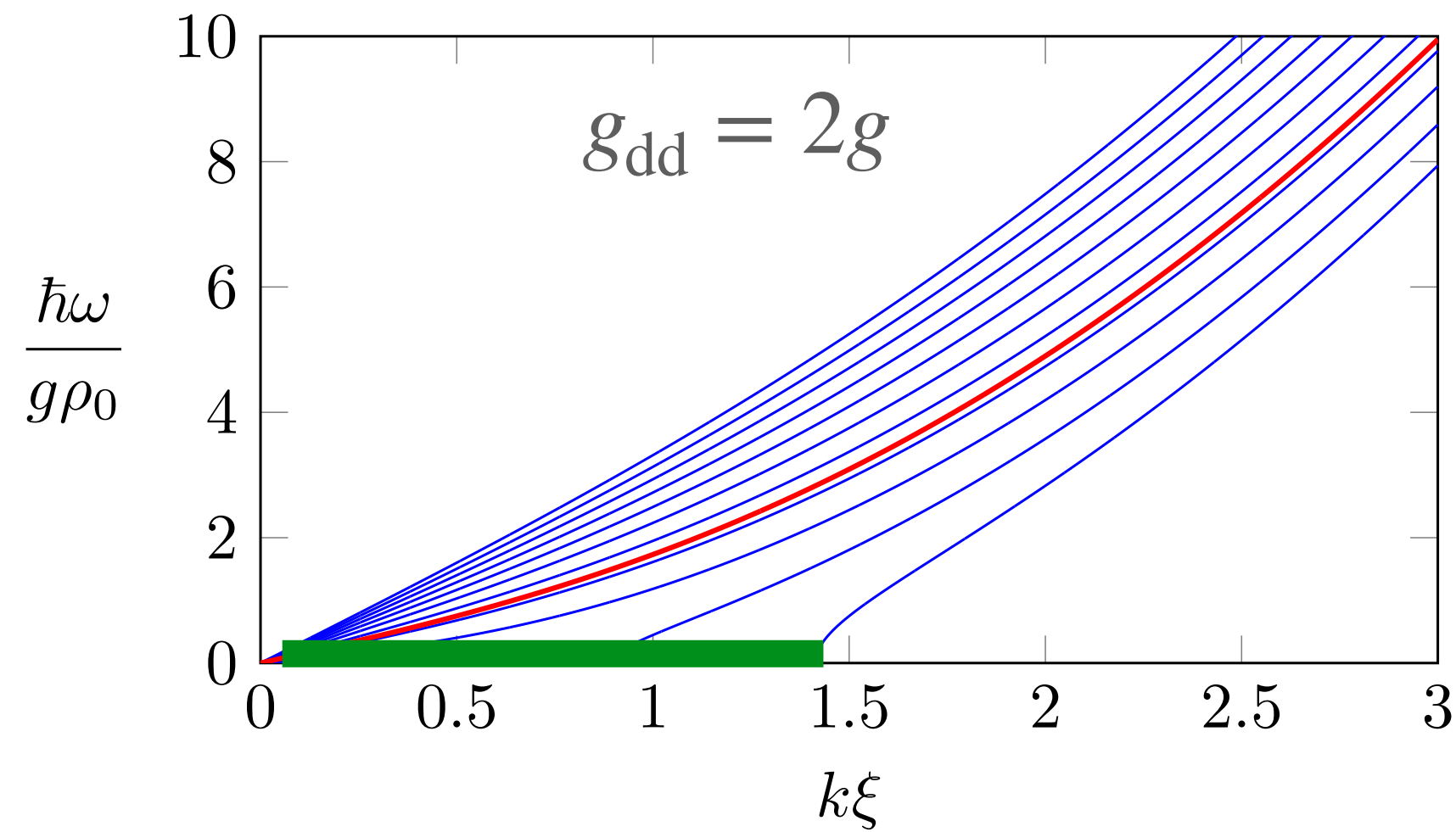
$$g_{\text{dd}} = 2g$$



rouge:  
 $\cos^2 \alpha = 1/3$

zone d'instabilité  
(petits  $k$  = grandes longueurs d'onde)

# Conclusion pour un condensat dipolaire à 3D



Dès que les interactions dipolaires sont plus fortes que les interactions de contact ( $g_{dd} > g$ ), le condensat uniforme 3D est déstabilisé par des excitations de grande longueur d'onde

Que devient le gaz 3D pour  $g_{dd} > g$  ?

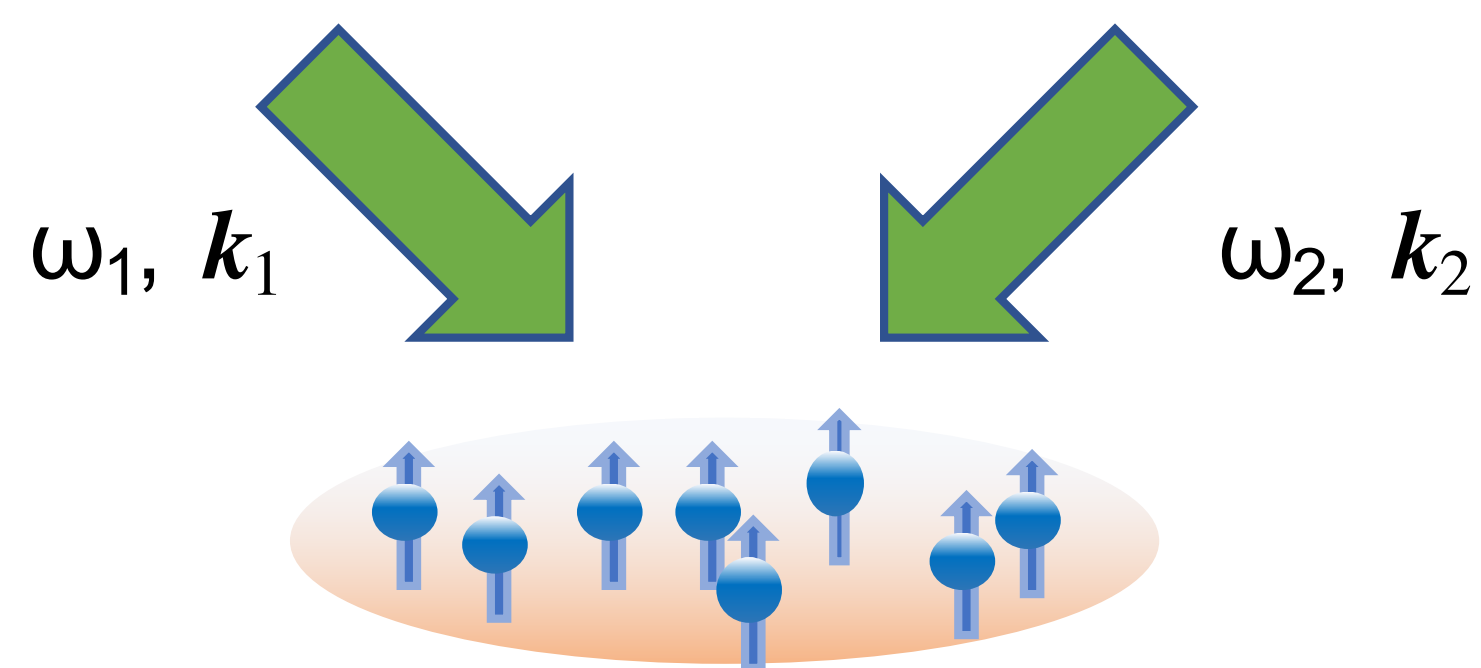
Réponse au cours 4 : possiblement une gouttelette quantique ( $\sim$  liquide)

Expériences au LPL, Paris Nord-Villetaneuse

Gaz d'atomes de chrome, confiné dans un piège harmonique  $\approx$  isotrope à 3D

Mesure de la relation de dispersion par spectroscopie de Bragg

*Absorption d'un photon  $(\omega_1, \mathbf{k}_1)$  suivie de l'émission stimulée d'un photon  $\omega_2, \mathbf{k}_2$*



On mesure la probabilité de déposer dans le gaz

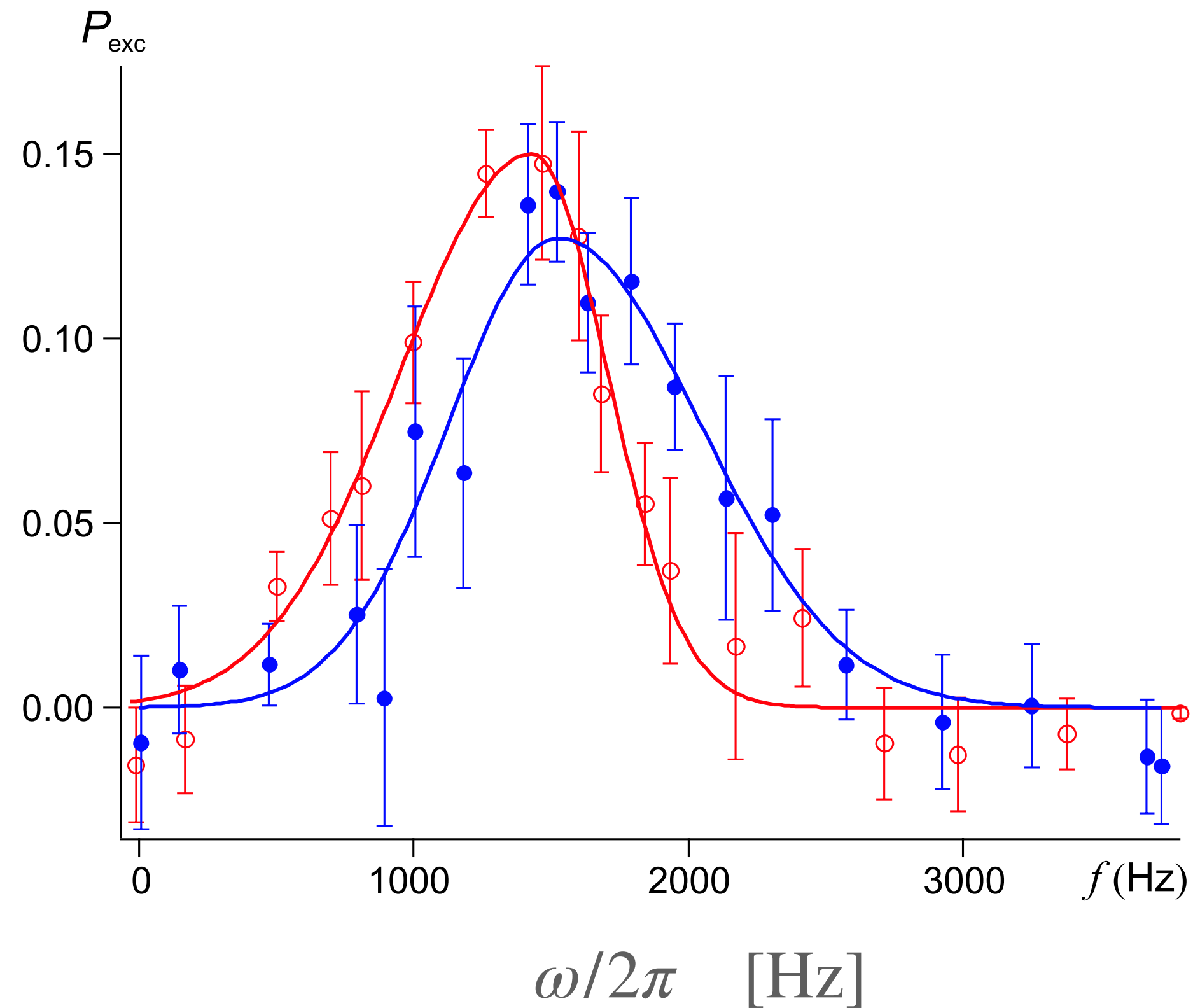
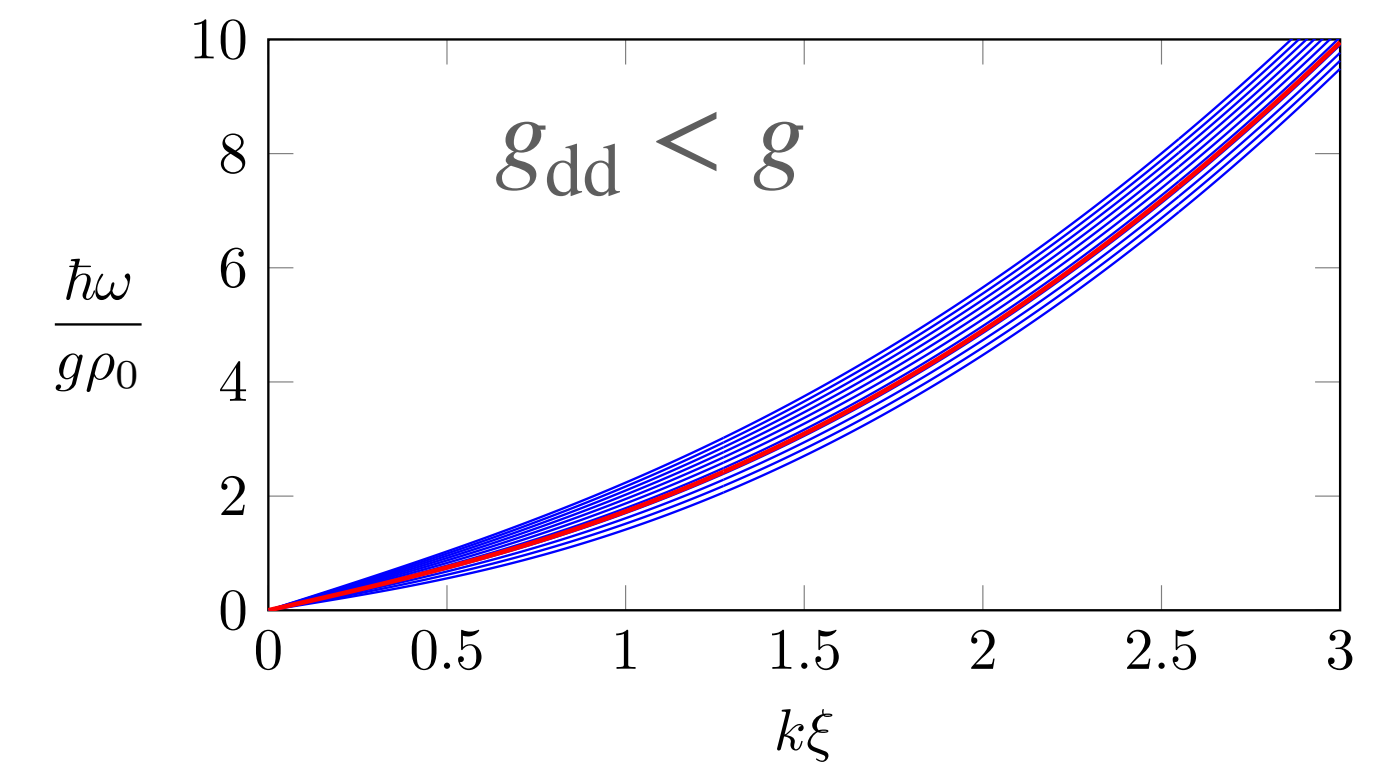
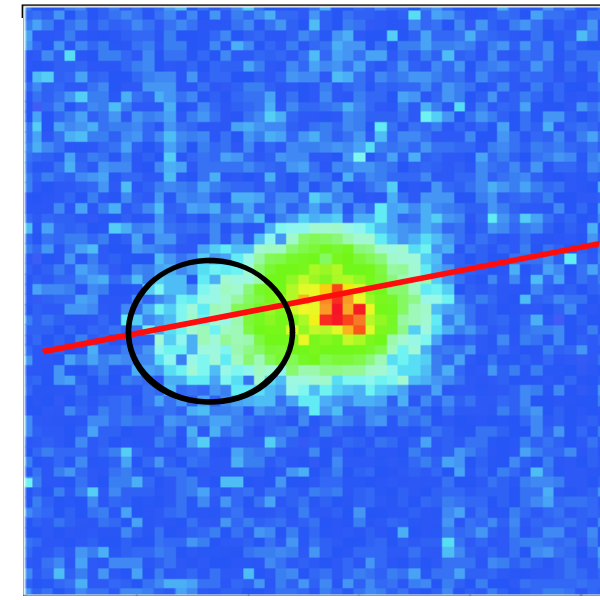
- L'énergie  $\hbar(\omega_1 - \omega_2) \equiv \hbar\omega$
- L'impulsion  $\hbar(\mathbf{k}_1 - \mathbf{k}_2) \equiv \hbar\mathbf{k}$

*Le changement de l'angle  $(\mathbf{k}_1, \mathbf{k}_2)$  permet de varier indépendamment  $\omega$  et  $\mathbf{k}$*

# Premières mesures (2)

Bismut, Laburthe-Tolra et al. (2012)

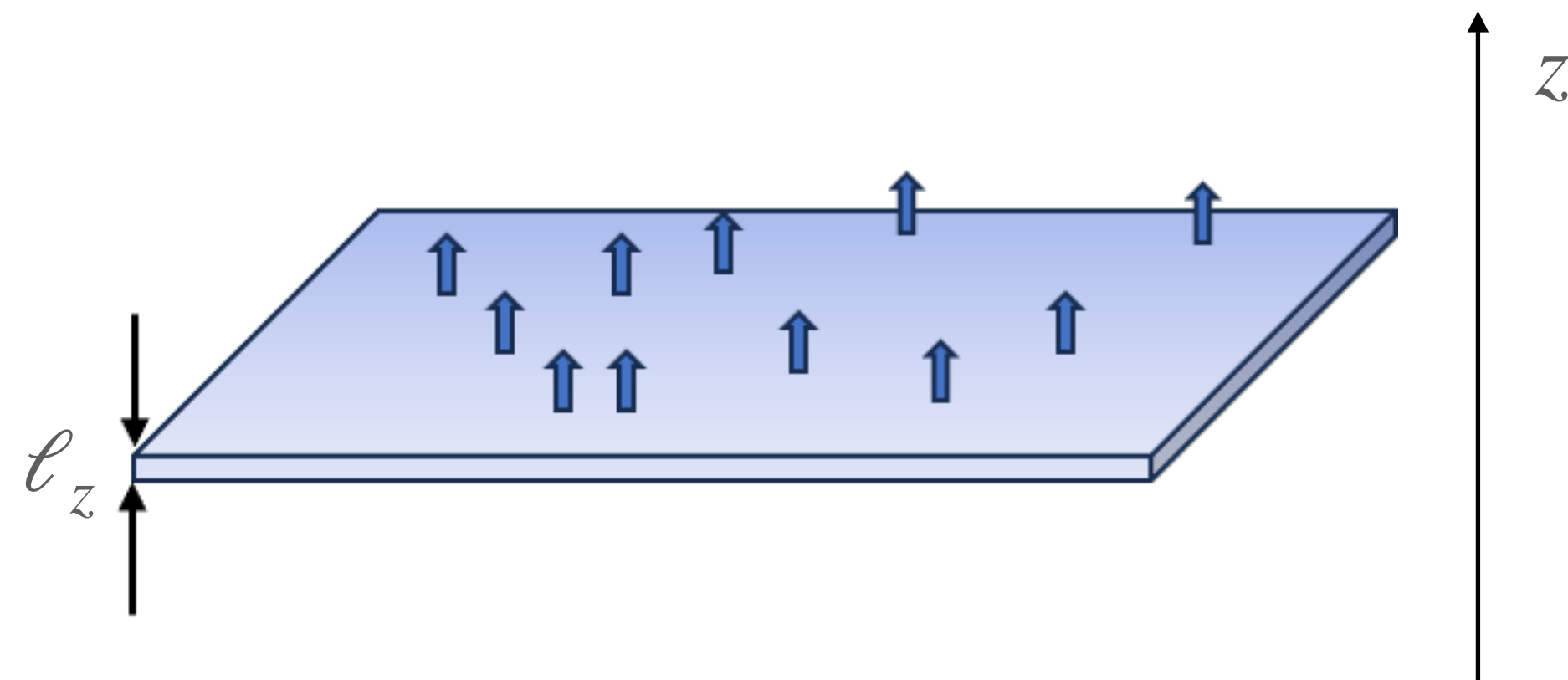
Angles entre les faisceaux de Bragg de 14 degrés :



- $\alpha = (\mathbf{k}, \mathbf{u}_z) = \pi/2$   $\longrightarrow$   $c_{\perp} = 2.06(5)$  mm/s
- $\alpha = (\mathbf{k}, \mathbf{u}_z) = 0$   $\longrightarrow$   $c_{\parallel} = 2.64(1)$  mm/s

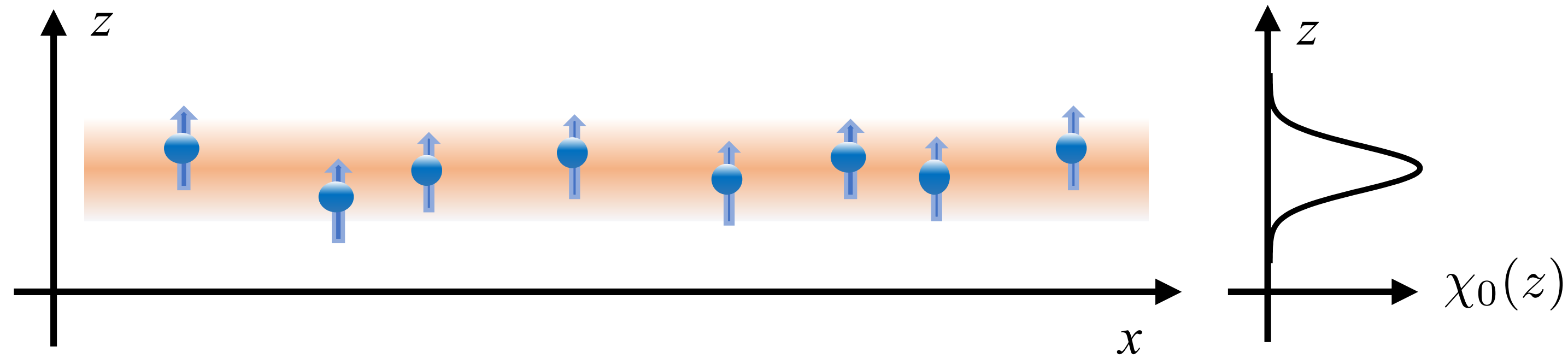
3.

## Gaz dipolaire quasi-plan



Peut-on empêcher l'instabilité modulationnelle pour  $g_{dd} > g$  ?

# Le confinement selon l'axe $z$



Modélisation de  $\chi_0(z)$  par une fonction gaussienne :  $\chi_0(z) \propto e^{-z^2/2\ell_z^2}$  ,  $\rho(z) = \rho_0 e^{-z^2/\ell_z^2}$

Hypothèse : cette fonction est figée (Fischer, 2006), i.e. insensible à la propagation d'excitations dans le plan  $xy$

Pour aller au delà de cette hypothèse : Santos, Shlyapnikov, Lewenstein (2003)

## Note :

Pour un confinement harmonique selon l'axe  $z$ , l'état fondamental est  $\psi_0(z) \propto e^{-z^2/2a_{\text{oh}}^2}$  avec  $a_{\text{oh}} \equiv \sqrt{\hbar/m\omega_z}$

Nous serons amenés à considérer des interactions telles que  $\mu_c \gtrsim \hbar\omega_z$ , ce qui entraîne  $\ell_z \gtrsim a_{\text{oh}}$

Fonctionnelle d'énergie à 3D + hypothèse de fonction d'onde  $\chi_0(z)$  figée



Fonctionnelle d'énergie à 2D avec un potentiel effectif  $\tilde{V}(k_x, k_y)$



# Potentiel effectif à 2D

$$\tilde{V}^{(2D)}(k_{\perp}) = \int_{-\infty}^{+\infty} \tilde{V}(\mathbf{k}) (\tilde{n}_0(k_z))^2 \frac{dk_z}{2\pi}$$

On a vu plus haut que  $\tilde{V}(\mathbf{k}) = g + g_{\text{dd}} (3 \cos^2 \alpha - 1) = g + g_{\text{dd}} \left( 2 - \frac{3k_{\perp}^2}{k_{\perp}^2 + k_z^2} \right)$   $\alpha = (\mathbf{k}, \mathbf{u}_z)$

Densité :  $n_0(z) = \frac{1}{\ell_z \sqrt{\pi}} e^{-z^2/\ell_z^2}$   $\xleftrightarrow{\text{T.F.}}$   $\tilde{n}_0(k_z) = e^{-k_z^2 \ell_z^2/4}$  limite l'intégrale à  $k_z \lesssim 1/\ell_z$

$$k_{\perp} \rightarrow 0$$

petites valeurs de  $k_{\perp}$  = grandes longueurs d'onde

$$\tilde{V}^{(2D)}(k_{\perp}) \approx \frac{1}{\ell_z \sqrt{2\pi}} (g + 2g_{\text{dd}})$$

**toujours positif : pas d'instabilité aux grandes longueurs d'onde, contrairement au cas 3D**

$$k_{\perp} \gg 1/\ell_z$$

grandes valeurs de  $k_{\perp}$  = courtes longueurs d'onde

$$\tilde{V}^{(2D)}(k_{\perp}) \approx \frac{1}{\ell_z \sqrt{2\pi}} (g - g_{\text{dd}})$$

**$\tilde{V}^{(2D)}$  est négatif aux grands  $k_{\perp}$  pour des interactions dipolaires fortes ( $g_{\text{dd}} > g$ )**

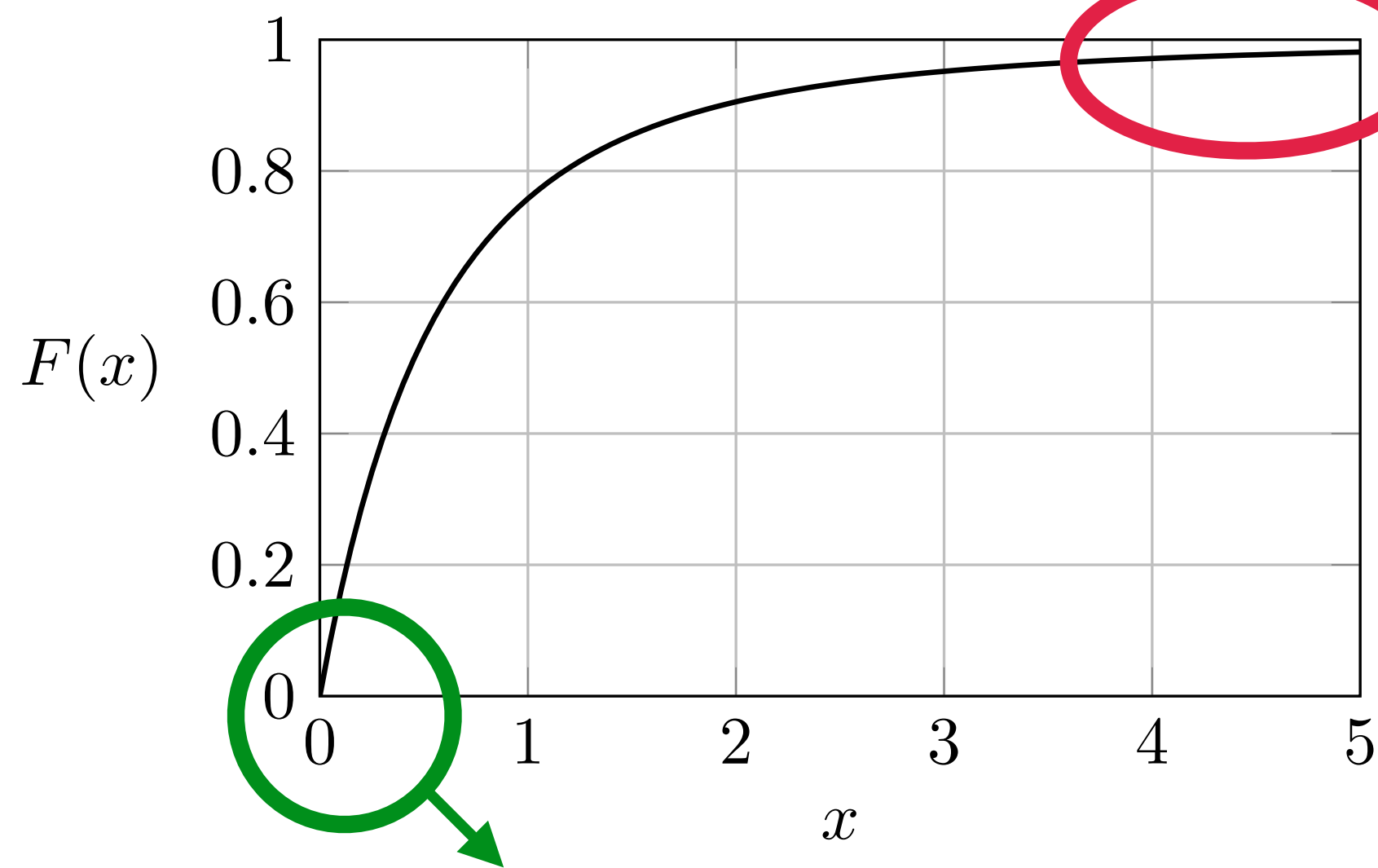
# Potentiel effectif à 2D

$$F(x) = \sqrt{\pi} x (1 - \operatorname{erf}x) e^{x^2}$$

On peut mettre le potentiel effectif sous la forme :

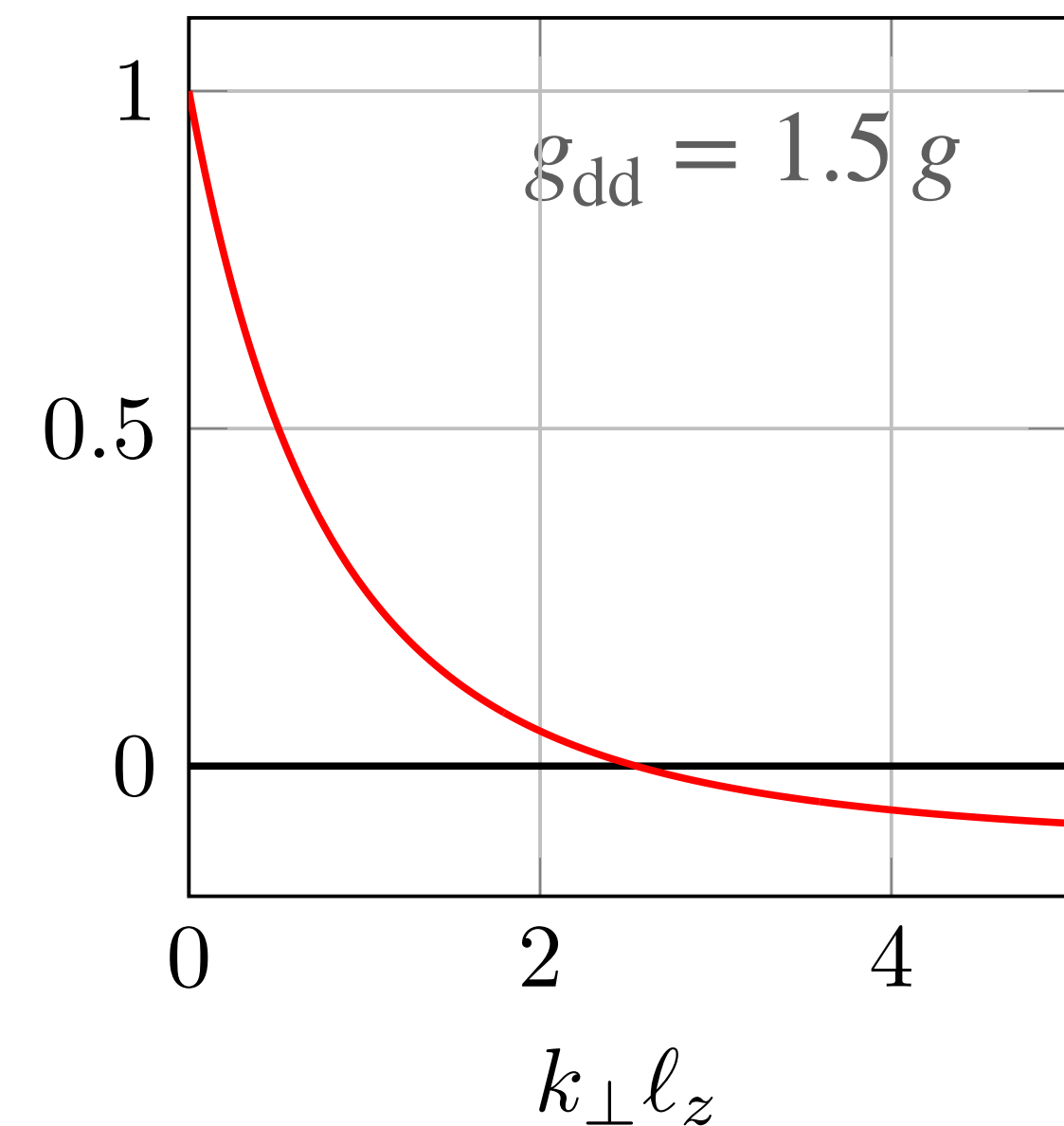
$$\tilde{V}^{(2D)}(k_{\perp}) = \frac{1}{\ell_z \sqrt{2\pi}} \left[ g + 2g_{\text{dd}} - 3g_{\text{dd}} F\left(\frac{k_{\perp} \ell_z}{\sqrt{2}}\right) \right]$$

$$k_{\perp} \gg 1/\ell_z : \tilde{V}^{(2D)}(k_{\perp}) \approx \frac{1}{\ell_z \sqrt{2\pi}} (g - g_{\text{dd}})$$

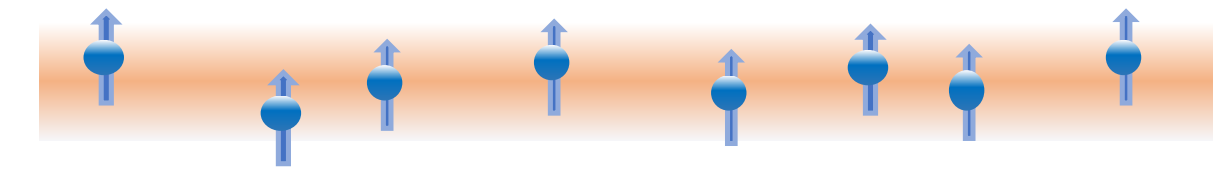


$$k_{\perp} \ll 1/\ell_z : \tilde{V}^{(2D)}(k_{\perp}) \approx \frac{1}{\ell_z \sqrt{2\pi}} (g + 2g_{\text{dd}})$$

$$\frac{\tilde{V}^{(2D)}(k_{\perp})}{\tilde{V}^{(2D)}(0)}$$

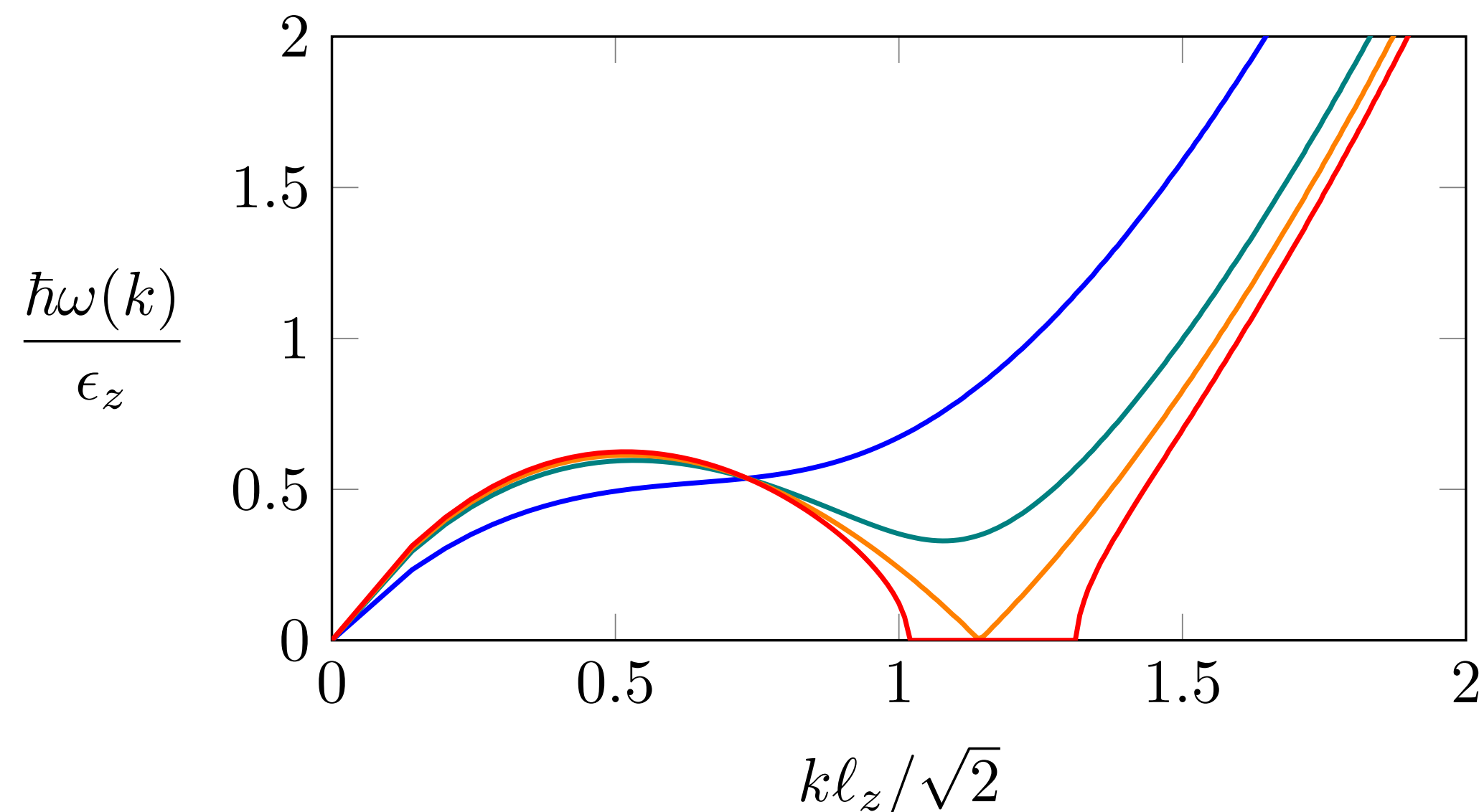


# Le spectre d'excitation à 2D



On revient à la relation générale  $\hbar\omega = \left[ 2\rho_0^{(2D)}\tilde{V}^{(2D)}(k)\epsilon_k + \epsilon_k^2 \right]^{1/2}$   $\epsilon_k = \frac{\hbar^2 k^2}{2m}$   $k \equiv k_{\perp}$

- Petites valeurs de  $k$  ( $k\ell_z \ll 1$ ):  $\tilde{V}^{(2D)}(k) > 0$ , pas d'instabilité
- Grandes valeurs de  $k$  ( $k\ell_z \gg 1$ ):  $\rho_0^{(2D)}\tilde{V}^{(2D)}(k) \ll \epsilon_k$ , particule libre  $\hbar\omega \approx \epsilon_k$
- Valeurs intermédiaires de  $k$  ( $k\ell_z \sim 1$ ):  $\tilde{V}^{(2D)}(k) < 0$  si  $g_{dd} > g$ , rôle significatif si  $\rho_0^{(2D)}$  est assez grande



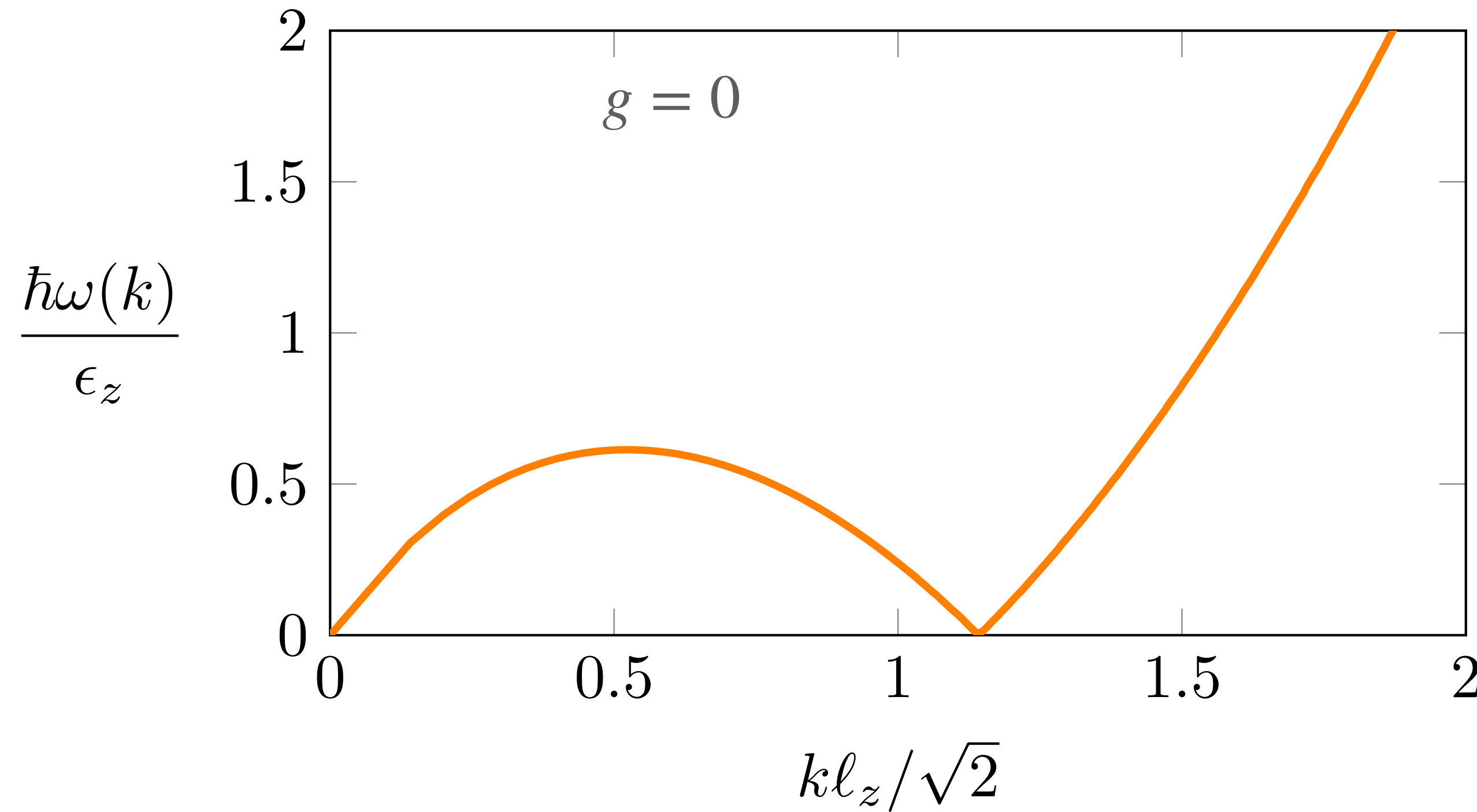
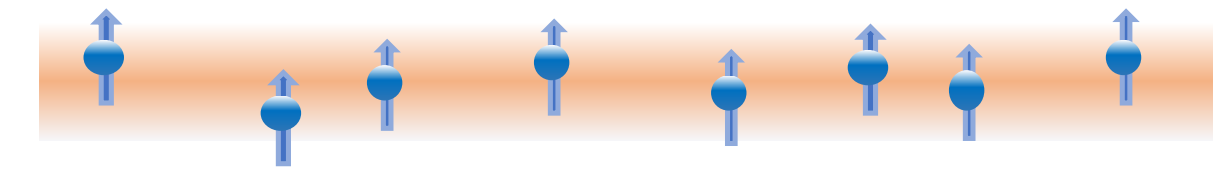
$g = 0$  : uniquement des interactions dipolaires

Courbes tracées pour :

$$\frac{g_{dd}\rho_0}{E_z} = 1, 1.6, 1.723, 1.8 \quad E_z = \frac{\hbar^2}{m\ell_z^2}$$

↑  
Instable sur une plage de vecteurs d'onde autour de  $1/\ell_z$

# Seuil d'instabilité et énergie d'interaction



L'instabilité apparaît pour

$$\frac{g_{\text{dd}}\rho_0}{E_z} \sim 1.7$$

$$E_z = \frac{\hbar^2}{m\ell_z^2}$$

Energie d'interaction ( $g_{\text{dd}}\rho_0$ ) suffisante pour modifier significativement le profil de densité selon  $z$

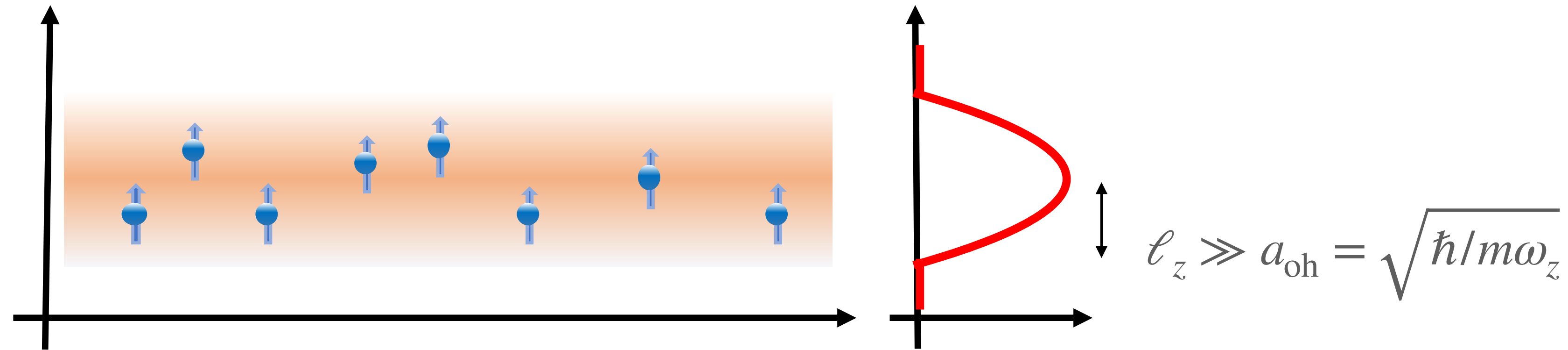
→ Epaisseur  $\ell_z$  du gaz sensiblement plus grande que la taille  $a_{\text{oh}}$  de l'état fondamental de l'oscillateur harmonique

# Roton dans la limite de Thomas-Fermi selon $z$

Santos, Shlyapnikov, Lewenstein (2003)

Limite de fortes interactions :

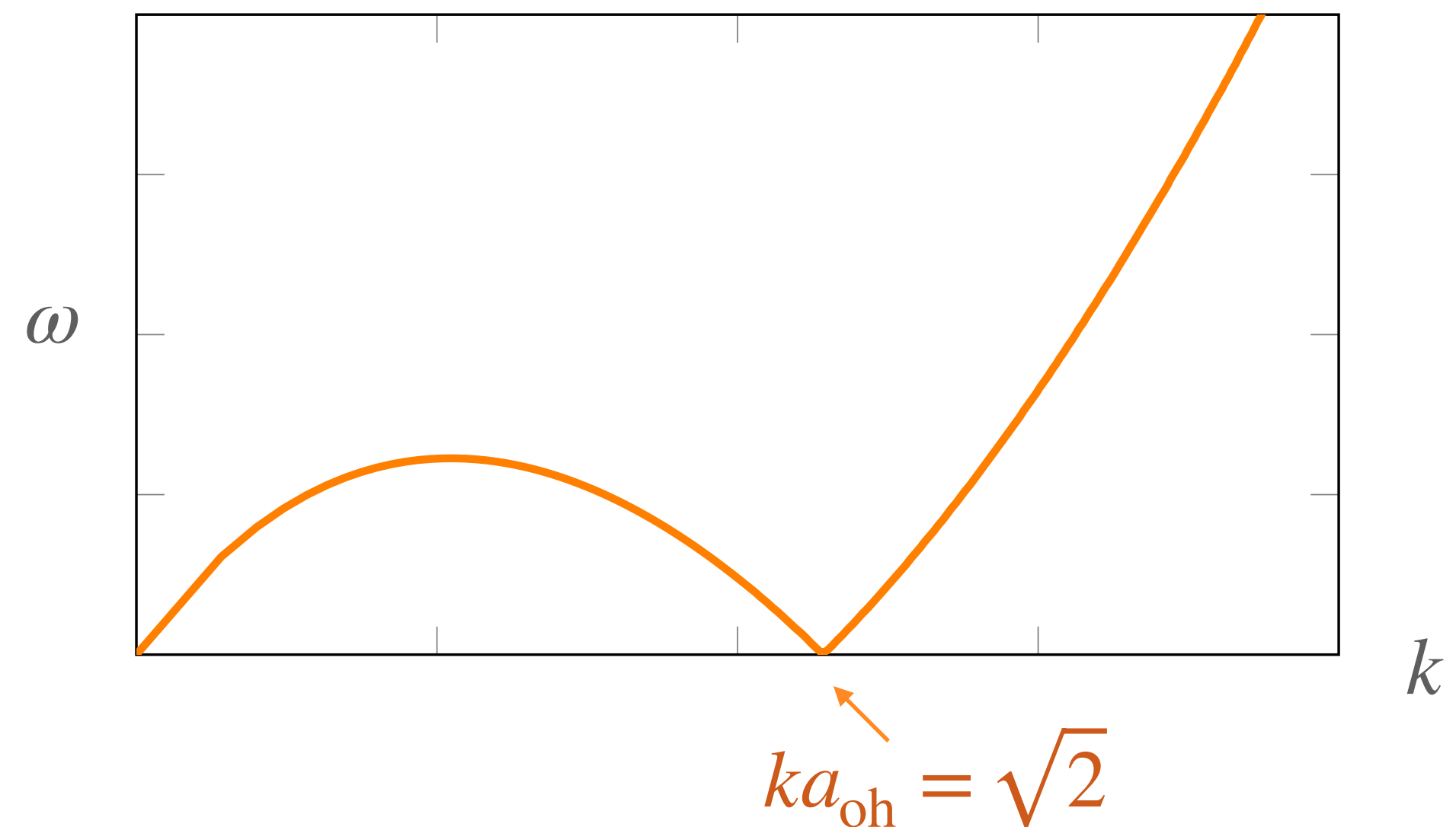
potentiel chimique  $\mu_c \gg \hbar\omega_z$



*La courbe de dispersion présente alors un minimum de roton dès que  $g_{dd} > g$*

Seuil d'instabilité modulationnelle

atteint pour 
$$\mu_c = \frac{15}{4} \hbar\omega_z \frac{g_{dd}}{g_{dd} - g}$$

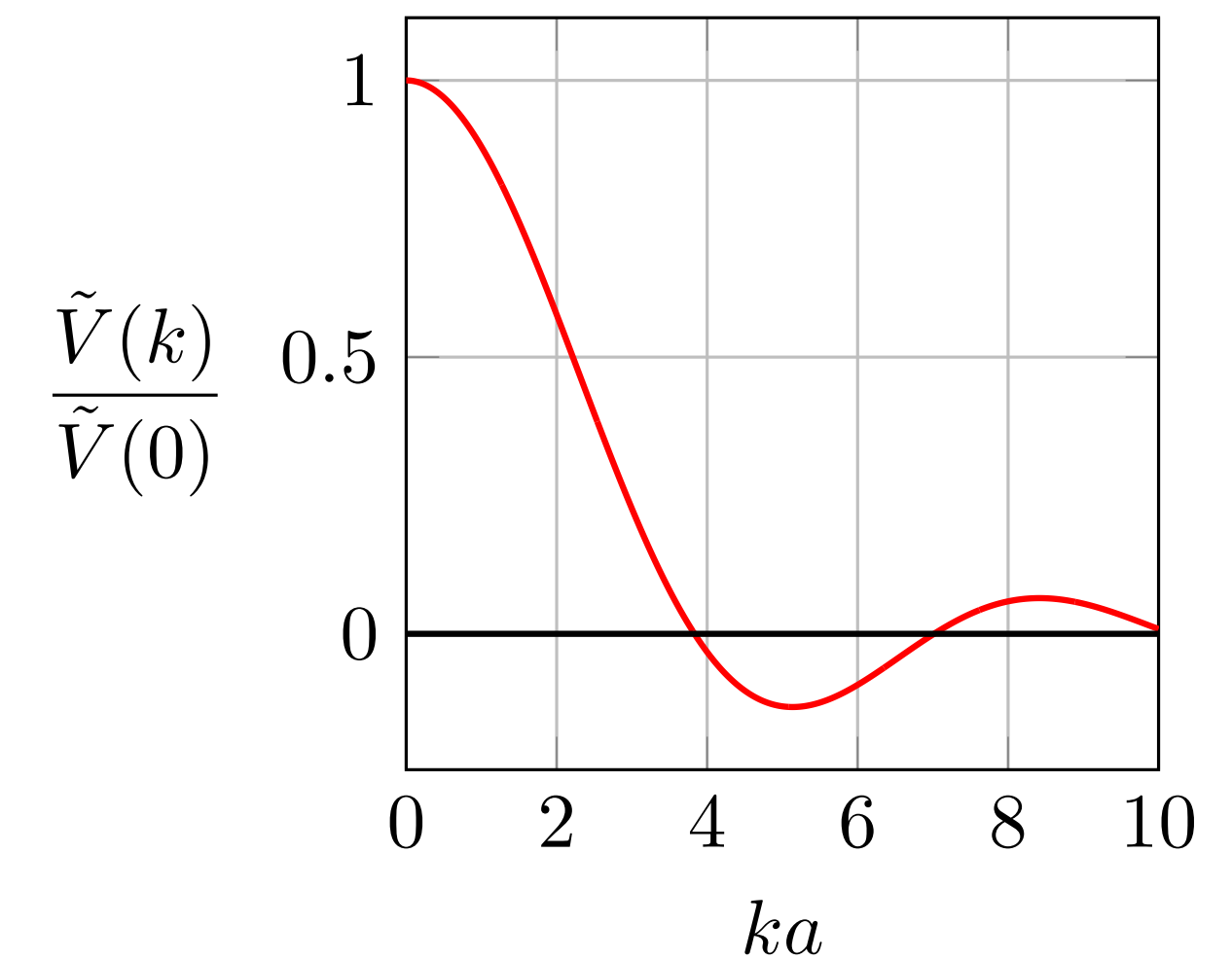
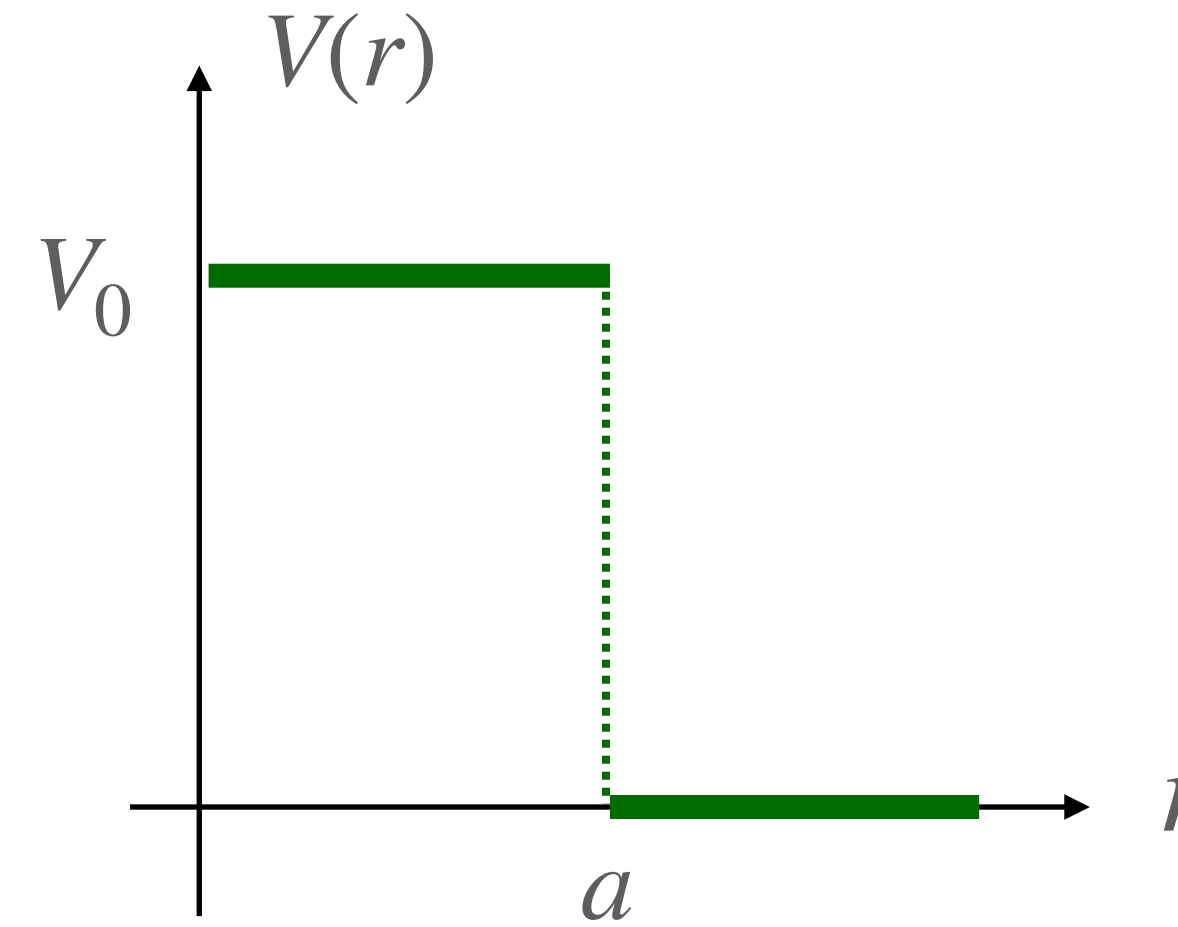
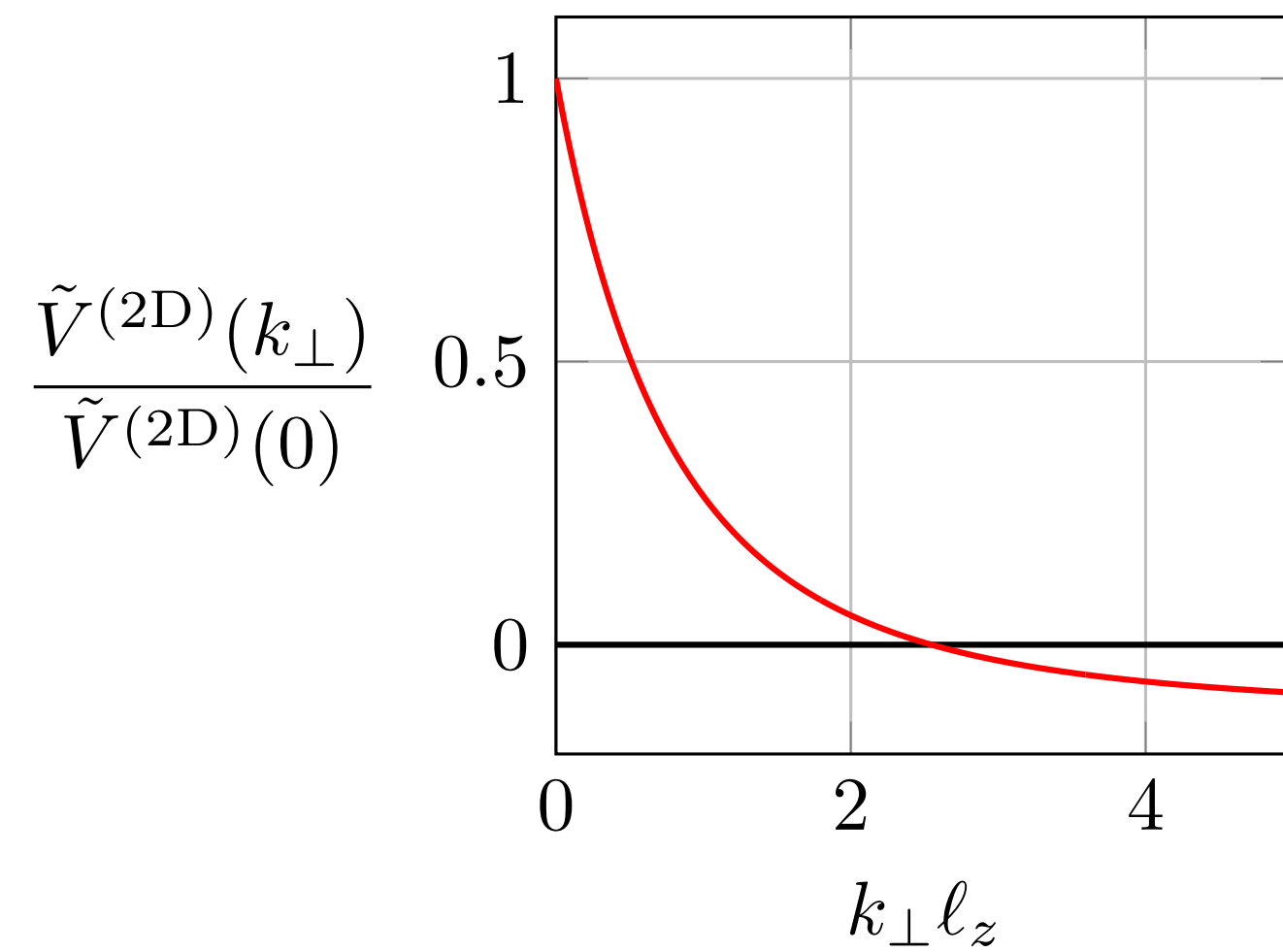


# Le potentiel effectif dans l'espace de Fourier

$$\tilde{V}^{(2D)}(K) = \frac{1}{\ell_z \sqrt{2\pi}} [g + 2g_{dd} - 3g_{dd}F(K)]$$

$$K = k_{\perp} \ell_z / \sqrt{2}$$

$$g_{dd} = 1.5 g$$



Parfois qualifié de :

“Répulsif” aux petits  $k_{\perp}$ , i.e. grandes distances

“Attractif” aux grands  $k_{\perp}$ , i.e. courtes distances

Un potentiel  $V(r)$  purement répulsif peut avoir des composantes de Fourier négatives

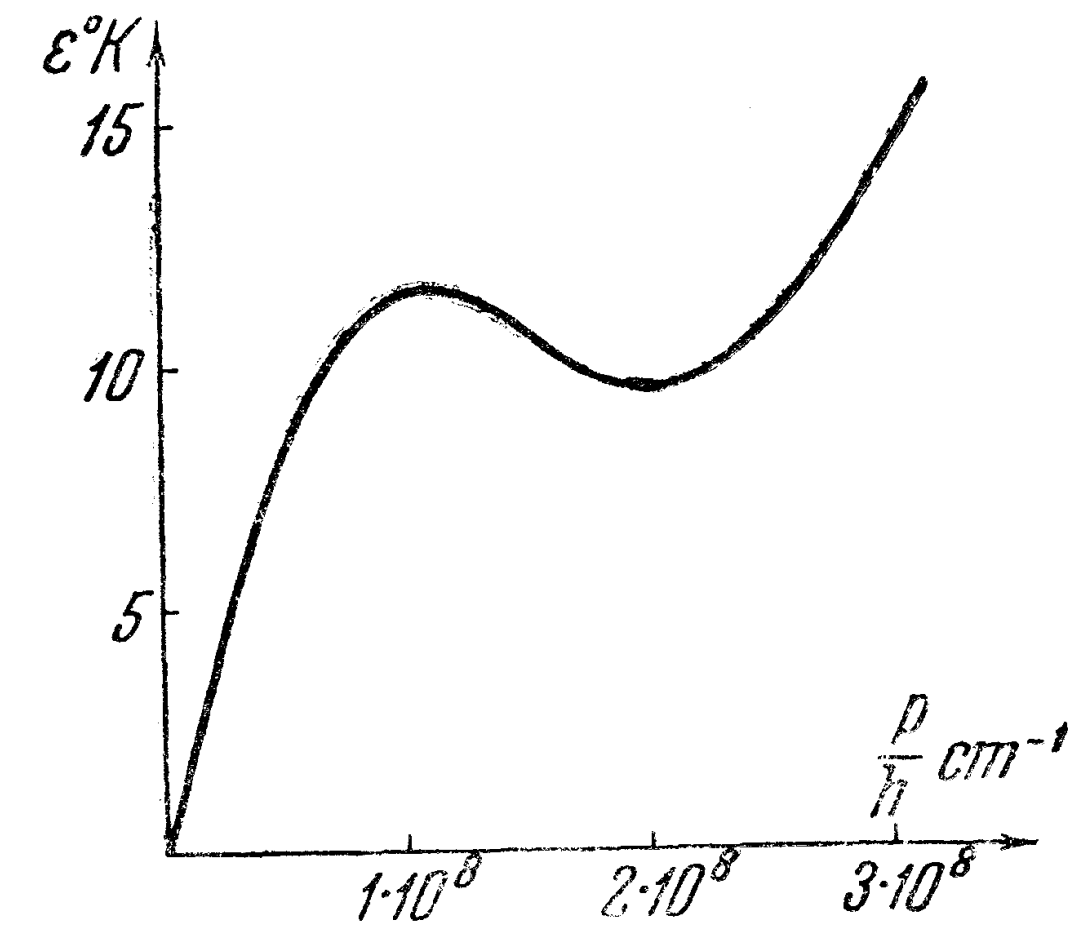
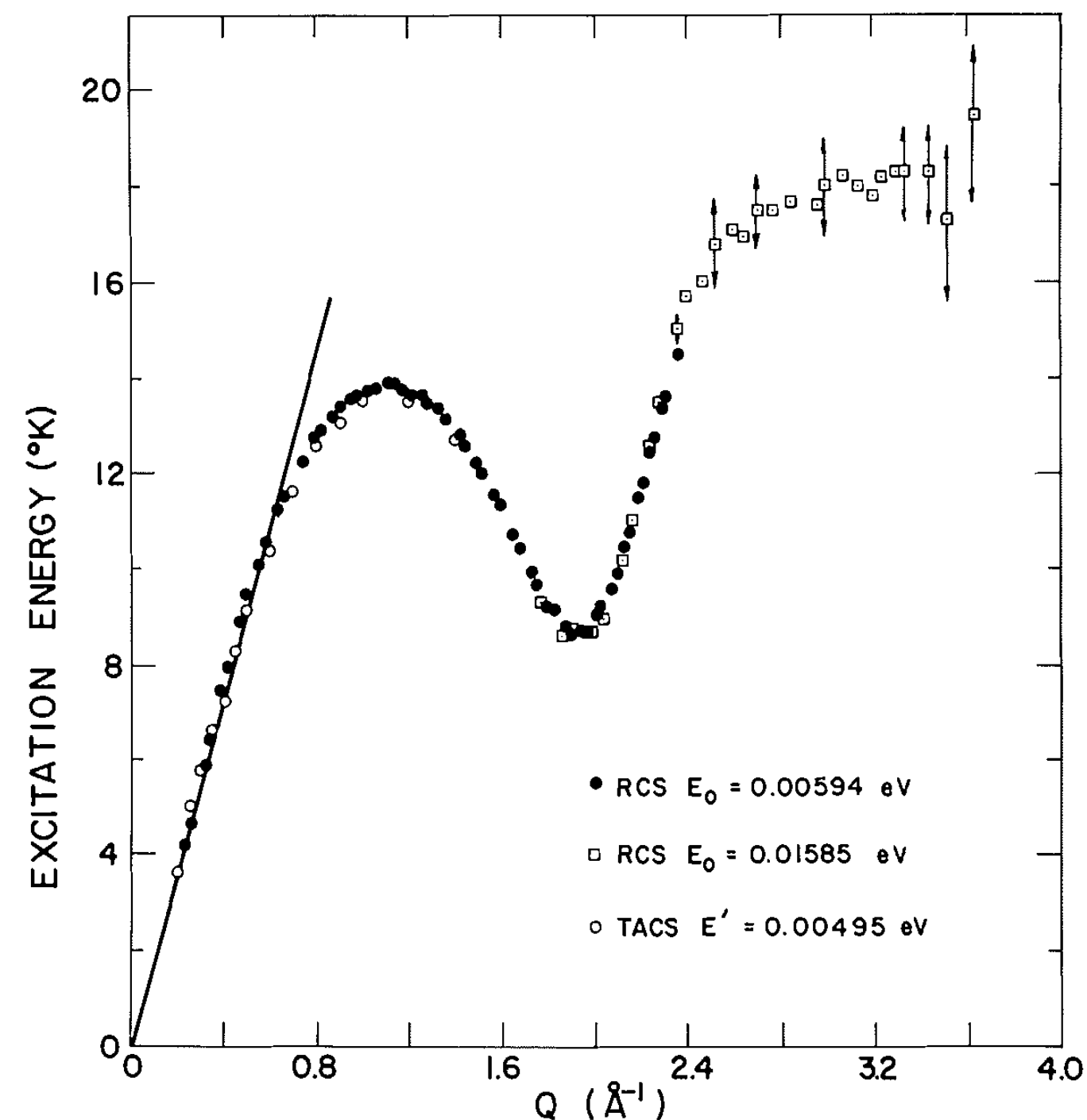
4.

Mise en évidence expérimentale du spectre de roton

# Le spectre de roton pour l'hélium

## Prédiction de Landau (1941-1947)

*Motivée par le conflit apparent entre vitesse du son et chaleur spécifique*



## Mesure par diffraction de neutrons

Cowley et al., 1971

Un neutron incident crée une excitation dans l'hélium en déposant l'énergie  $\hbar\omega$  et l'impulsion  $\hbar k$



# Interprétation du spectre de roton pour l'hélium

Onsager, 1949 :

Il suggère qu'un roton pouvait correspondre à un anneau de vorticit  de taille atomique

Feynman, 1955 :

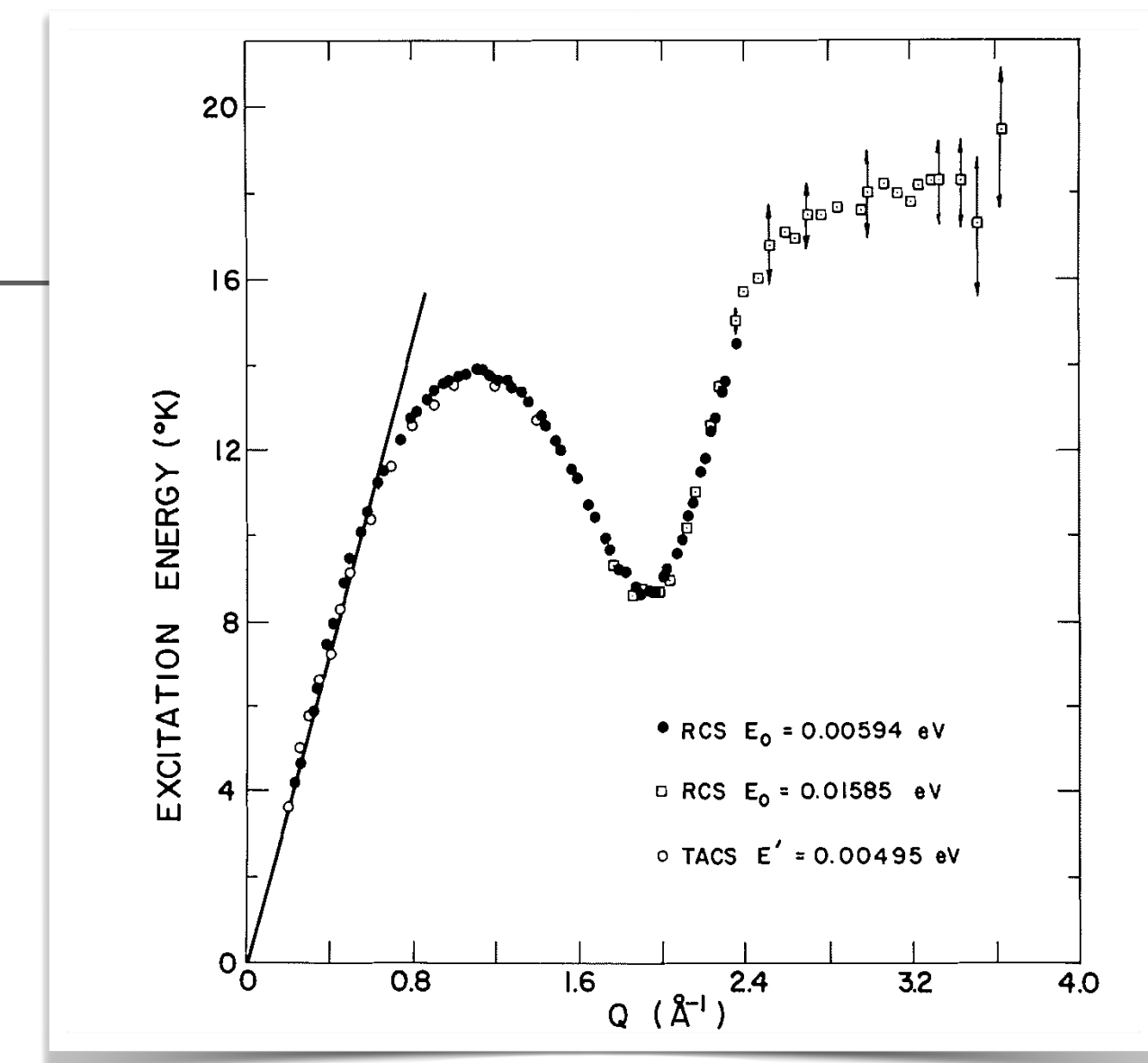
“The smallest ring vortex that can exist must have a radius about half the atomic spacing.  
Let us guess that this is in fact a roton.”

Nozi res, 2004 :

“Un roton est le fant me d'un pic de Bragg”

i.e., signature de la tendance du liquide   former un cristal avec une p riode spatiale  $2\pi/k_{\text{roton}}$

*Mais la cristallisation (au dessus de 25 bars) ne s'accompagne pas d'un passage   z ro du minimum de roton*

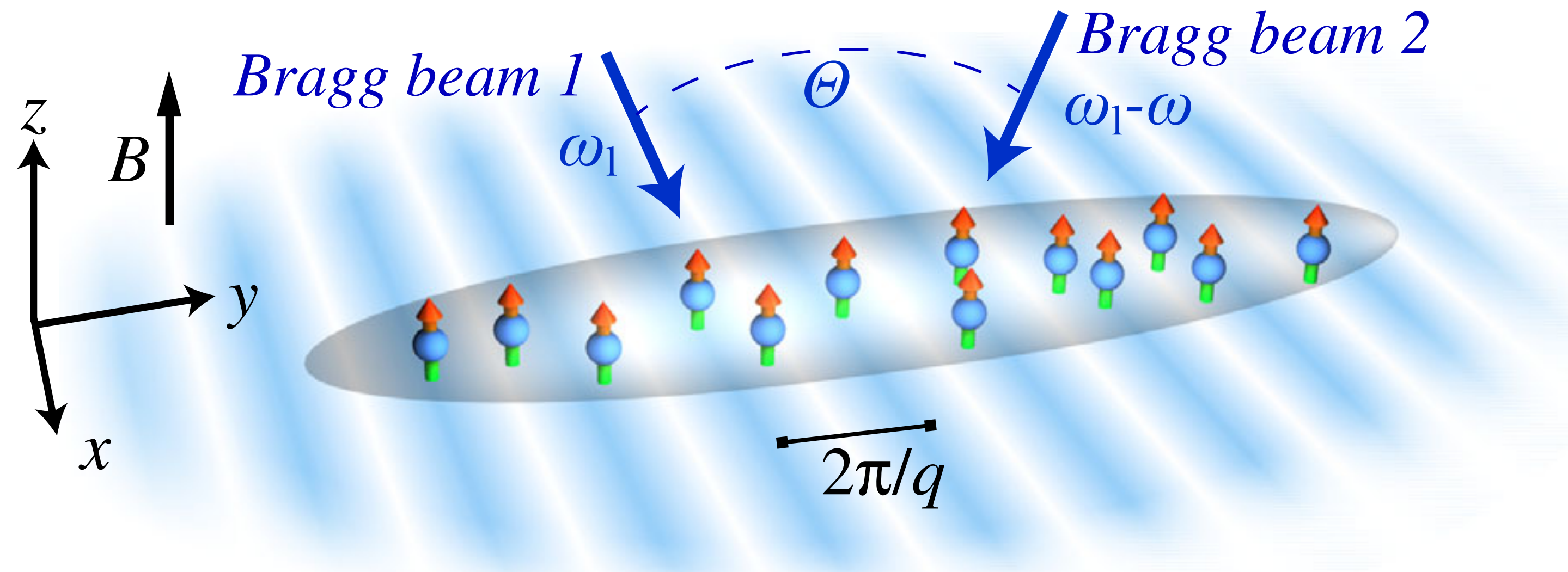


# Observation de la structure en roton-maxon

Chomaz et al., 2018

Petter et al., 2019

Expérience d'Innsbruck avec de l'erbium 166, dans le régime de Thomas-Fermi transverse



Expérience faite sur un tube  
Système quasi-1D

$$\omega_z/2\pi = 256 \text{ Hz}$$

$$a_{\text{oh}} = 0.49 \mu\text{m}$$

Spectroscopie de Bragg avec  $ka_{\text{oh}}$  variant entre 0.27 (régime de phonons) et 1.74 (au-delà du minimum de roton)

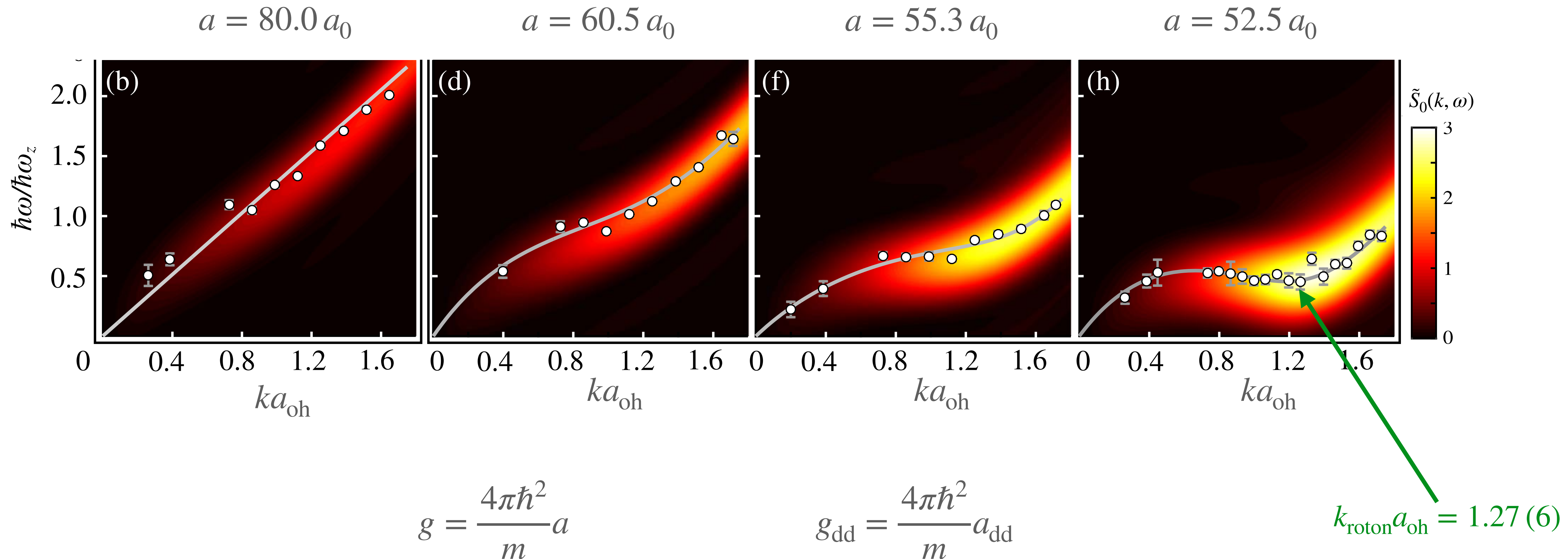
On garde  $g_{\text{dd}}$  constant et on varie  $g$  (interactions de contact) grâce à une résonance de Fano-Feshbach

# Observation de la structure en roton-maxon (2)

Chomaz et al., 2018

Petter et al., 2019

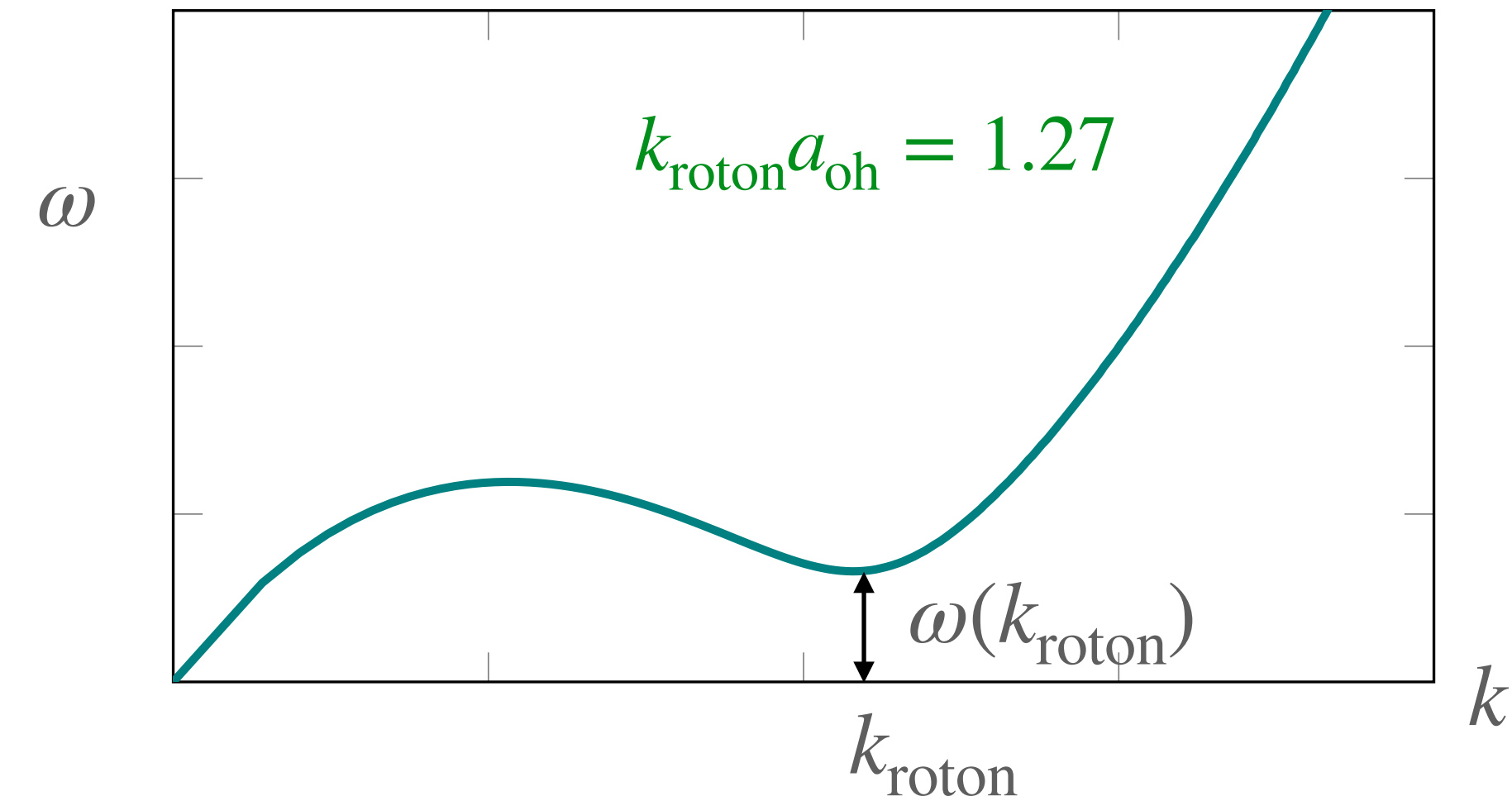
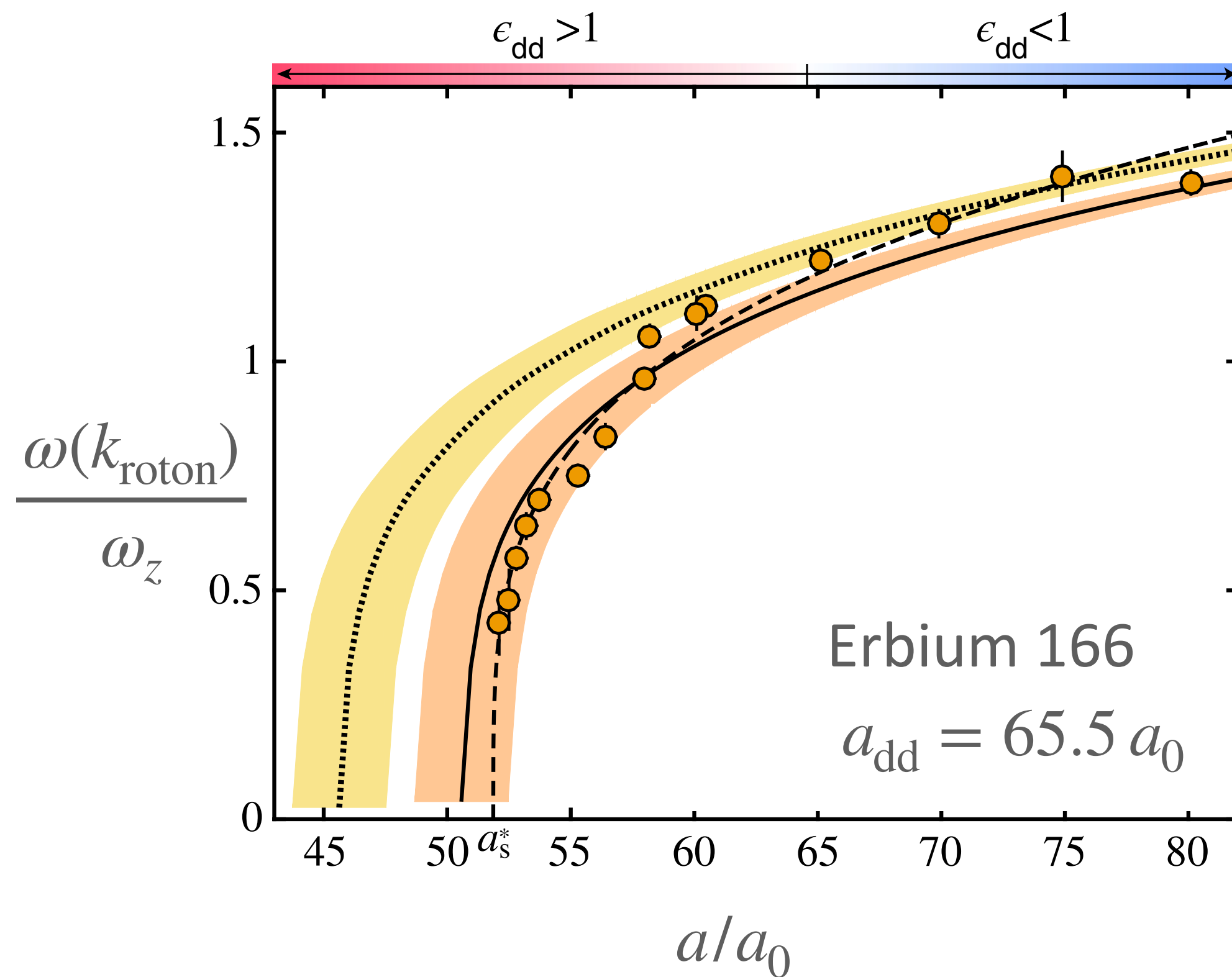
Erbium 166 : interactions dipolaires caractérisées par  $a_{\text{dd}} = 65.5 a_0$  ( $a_0$ : rayon de Bohr)



# Valeur du minimum de roton

Chomaz et al., 2018

Petter et al., 2019



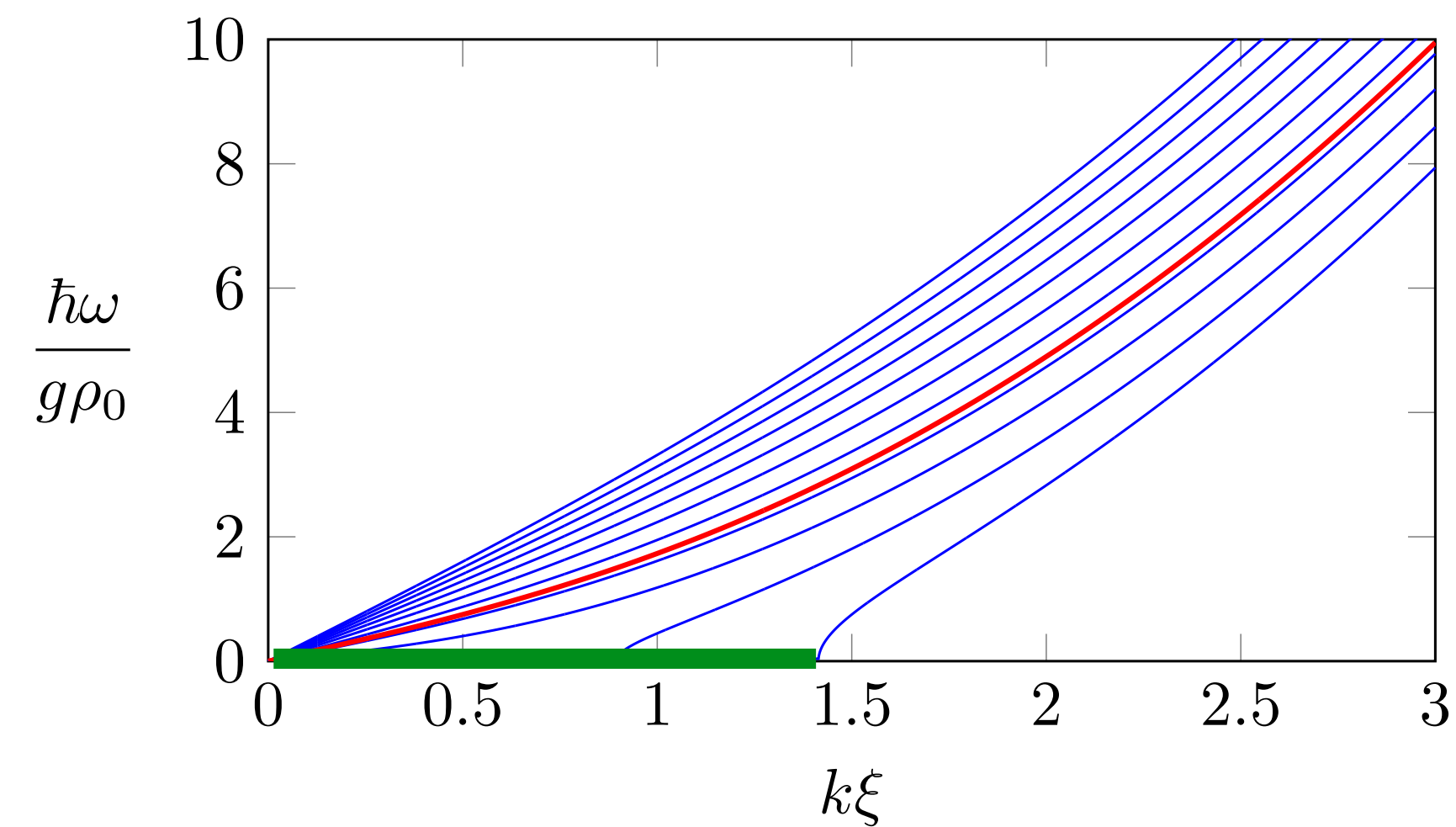
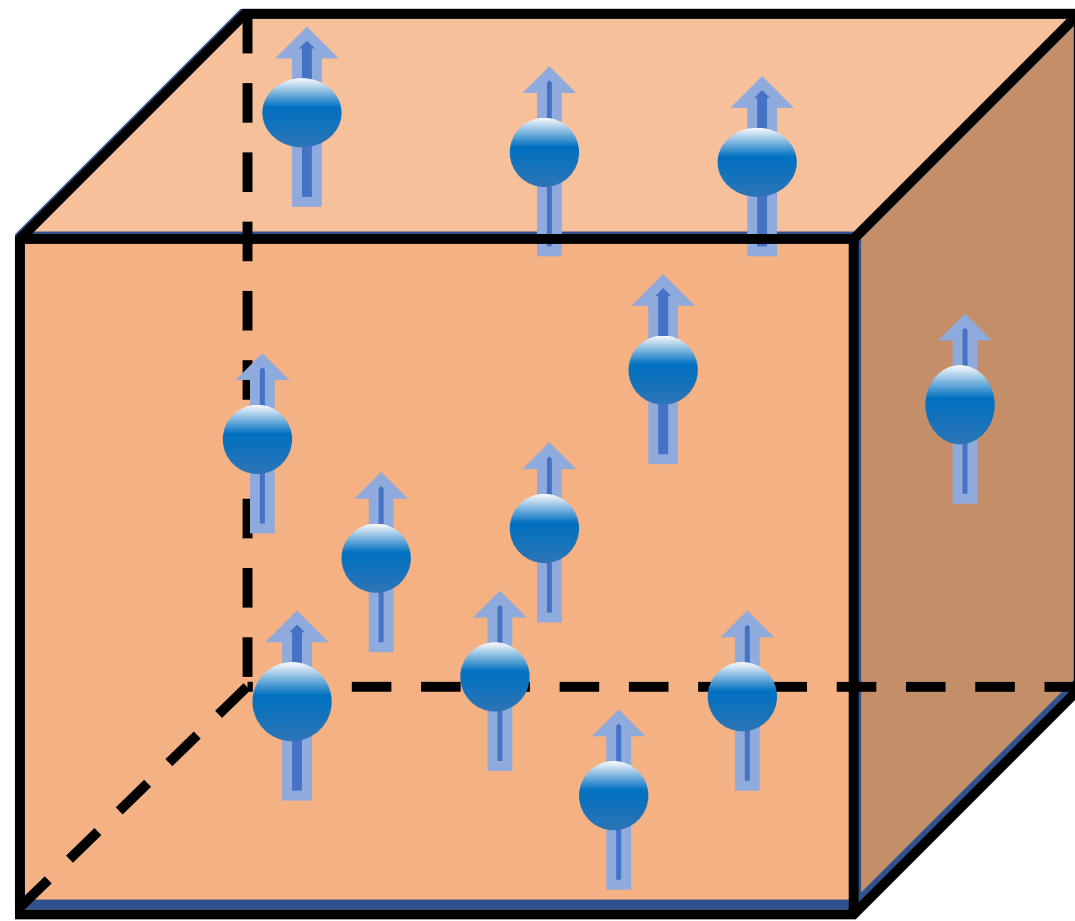
Dans ces conditions de densité, un ajustement des données indique que  $\omega(k_{\text{roton}})$  s'annule pour  $a = 51.9 a_0$

$$\frac{a_{\text{dd}}}{a} = \frac{g_{\text{dd}}}{g} = 1.26$$

**Que devient le gaz quand  $\omega(k_{\text{roton}})$  diminue fortement ? Réponses aux cours 5 et 6 : un supersolide**

# En conclusion (1)

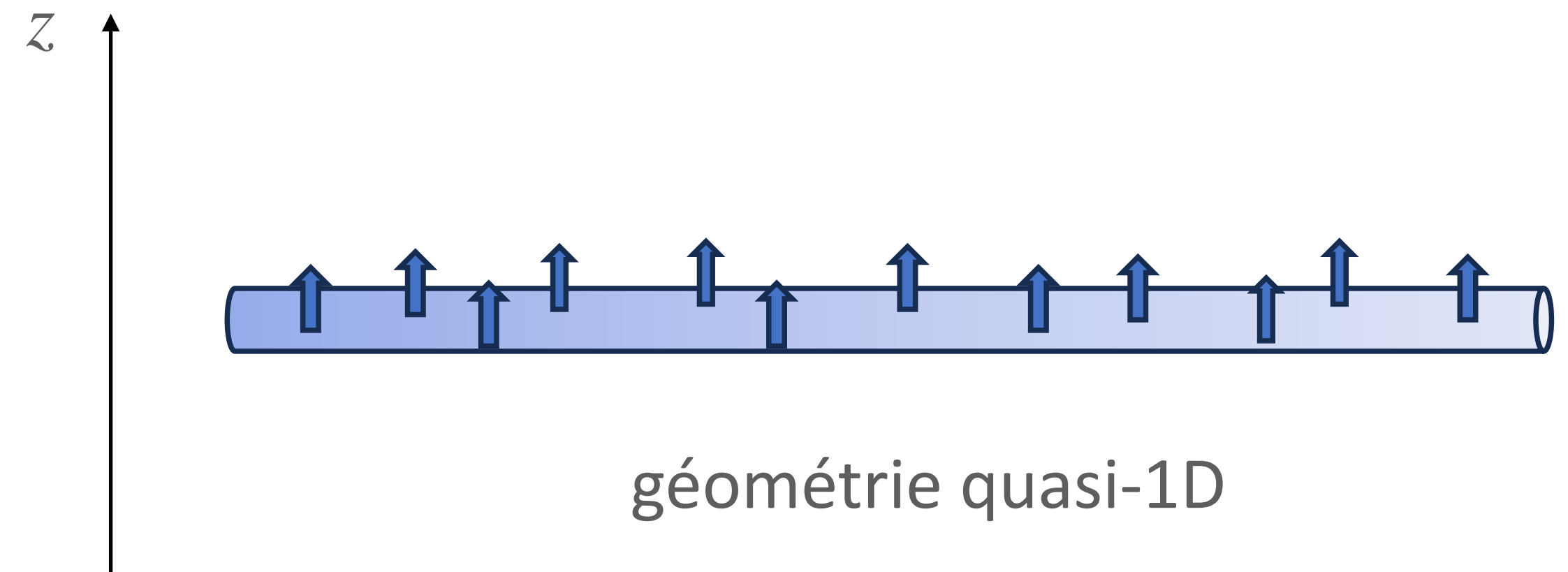
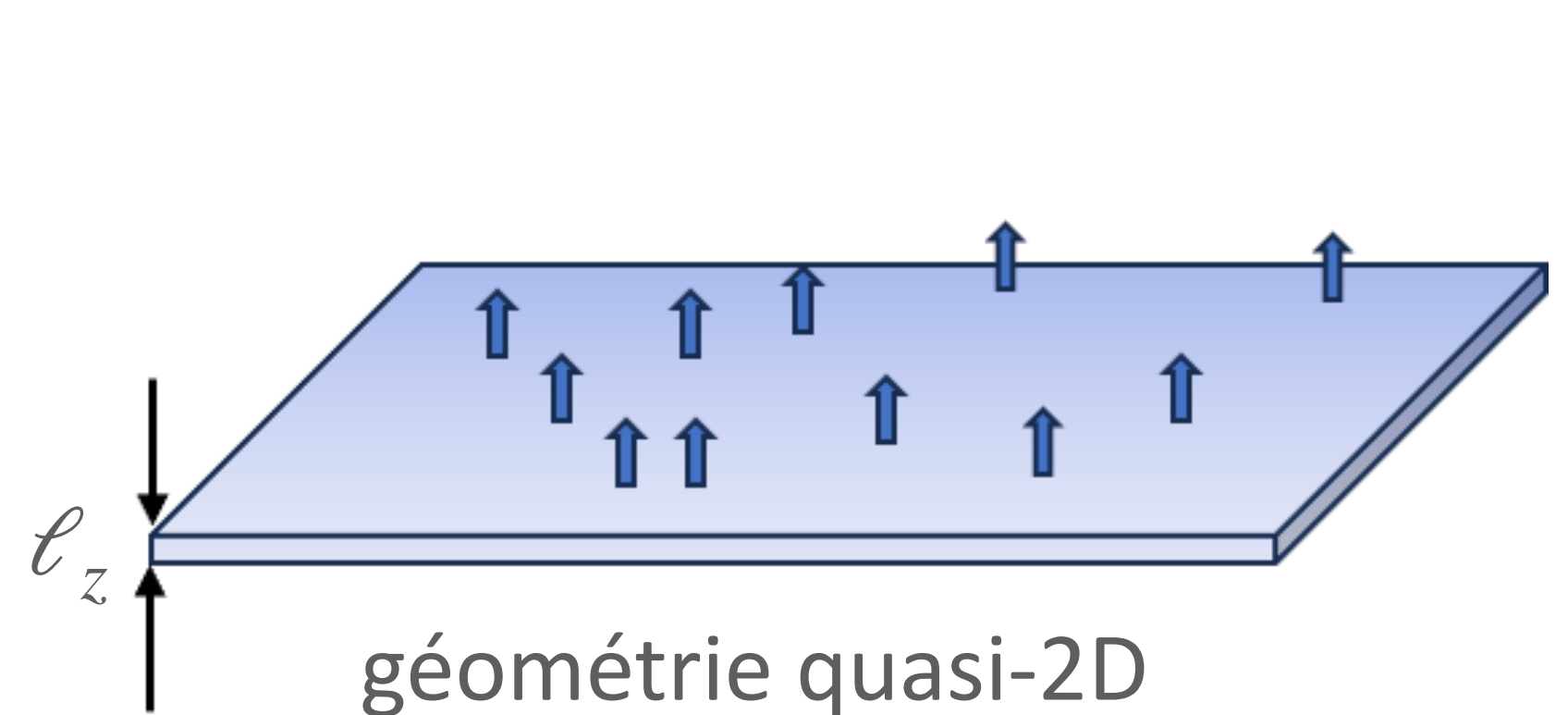
A trois dimensions, instabilité aux grandes longueurs d'onde dès que  $g_{dd} > g$



**En ajoutant des corrections au-delà du champ moyen, possibilité de stabiliser des gouttelettes liquides auto-liées (cours 4)**

## En conclusion (2)

Avec un confinement fort du gaz selon la direction des dipôles



Possibilité d'une instabilité de type roton, qui vient sélectionner un mode spatial particulier

**Transition vers un état supersolide (cours 5 et 6)**

